



KARTOTEKA
RZADKICH
PTAKÓW

Kartoteka Rzadkich Ptaków w Polsce w roku 2020 – gatunki lęgowe

Tomasz Chodkiewicz^{1,2,3}, Szymon Beuch^{1,2}, Łukasz Ławicki^{1,4},
Przemysław Wylegała^{1,3,5}, Jacek Betleja⁶, Szymon Bzoma⁷,
Zdzisław Cenian⁸, Robert Cymbała^{1,9}, Paweł Czechowski^{1,10},
Stanisław Czyż^{1,11}, Piotr Dębowski^{1,12}, Andrzej Dylík¹, Andrzej Górski¹³,
Grzegorz Grygoruk^{1,14}, Wojciech Guzik¹, Fatima Hayatli^{15,3},
Krzysztof Jankowski¹, Zbigniew Kajzer¹, Dominik Krupiński¹⁶,
Dorota Łukasik¹⁷, Łukasz Matyjasiak^{1,18}, Grzegorz Neubauer¹⁹,
Sławomir Sielicki²⁰, Bartosz Smyk^{1,3}, Krzysztof Stasiak³, Łukasz Wardecki³,
Marcin Wężyk^{1,21}, Maria Wieloch²², Bartłomiej Woźniak²³,
Monika Zielińska²², Piotr Zieliński²², Arkadiusz Sikora^{1,22}

¹ Kartoteka Rzadkich Ptaków, <http://rzadkieptaki.pl/koordynatorzy/>

² Muzeum i Instytut Zoologii PAN, Wilcza 64, 00-679 Warszawa; tchodkiewicz@miiz.waw.pl,
sbeuch@miiz.waw.pl

³ Ogólnopolskie Towarzystwo Ochrony Ptaków, Odrowąża 24, 05-270 Marki

⁴ Eco-Expert, Dworcowa 2/317, 70-206 Szczecin; izuza@interia.pl

⁵ Polskie Towarzystwo Ochrony Przyrody Salamandra, Stolarska 7/3, 60-788 Poznań;
przemo@salamandra.org.pl

⁶ Muzeum Górnośląskie, pl. Jana III Sobieskiego 2, 41-902 Bytom

⁷ Grupa Badawcza Ptaków Wodnych KULING, Świerkowa 34/7, 81-526 Gdynia

⁸ Komitet Ochrony Orłów, Niepodległości 53/55, 10-044 Olsztyn

⁹ Lubelskie Towarzystwo Ornitologiczne, Mełgiewska 74/209, 20-234 Lublin

¹⁰ Instytut Sportu, Turystyki i Żywnienia, Uniwersytet Zielonogórski, Szafrana 1,
65-516 Zielona Góra

¹¹ Małopolskie Towarzystwo Ornitologiczne, Do Wilgi 11, 30-419 Kraków

¹² Towarzystwo Badań i Ochrony Przyrody, Sienkiewicza 68, 25-501 Kielce

¹³ Katedra Ekologii i Ochrony Środowiska, Uniwersytet Warmińsko-Mazurski w Olsztynie,
Plac Łódzki 3, 10-727 Olsztyn

¹⁴ Towarzystwo Przyrodnicze Dubelt, Juszkowy Gród 17, 16-050 Michałowo

¹⁵ Katedra Badania Różnorodności Biologicznej, Dydaktyki i Bioedukacji, Uniwersytet Łódzki,
ul. Banacha 1/3 90-237 Łódź

¹⁶ Towarzystwo Przyrodnicze Bocian, Srebrna 16/9, 00-810 Warszawa

¹⁷ Główny Inspektorat Ochrony Środowiska, Departament Monitoringu Środowiska,
Bitwy Warszawskiej 1920 r. 3, 02-362 Warszawa 311

¹⁸ Mazowiecko-Świętokrzyskie Towarzystwo Ornitologiczne, Radomska 7, 26-670 Pionki

¹⁹ Pracownia Biologii Lasu, Uniwersytet Wrocławski, Sienkiewicza 21, 50-335 Wrocław

²⁰ Stowarzyszenie Na Rzecz Dzikich Zwierząt Sokół; Promienna 11, 87-800 Włocławek

²¹ Piotrkowskie Towarzystwo Przyrodnicze, 1 Maja 21/5, 97-300 Piotrków Trybunalski

²² Stacja Ornitologiczna Muzeum i Instytut Zoologii PAN, Nadwiślańska 108, 80-680 Gdańsk, asikora@miiz.waw.pl

²³ Samodzielny Zakład Zoologii Leśnej i Łowiectwa, Instytut Nauk Leśnych, SGGW, Nowoursynowska 159, 02-776 Warszawa

Abstrakt: Raport podsumowuje wyniki zebrane w Kartotece Rzadkich Ptaków dotyczące gatunków lęgowych w Polsce w roku 2020. Scharakteryzowano populacje lęgowe 34 rzadkich taksonów (32 gatunki i 2 podgatunki) opisując liczebność, rozmieszczenie i trendy. Zróznicowane okresy do oceny trendów podano w przeglądzie gatunków. Rekordową liczebność odnotowano dla: łabędzia krzykliwego *Cygnus cygnus* (226 par), gęsiówki egipskiej *Alopochen aegyptiaca* (32 p.), czapli białej *Ardea alba* (689 p.), puszczyka mszarnego *Strix nebulosa* (16 p.) oraz sokoła wędrownego *Falco peregrinus* (56 p.). Wzrost liczebności odnotowano także w przypadku: hełmiatki *Netta rufina* (47 p.), mandarynki *Aix galericulata* (88 p.) i ślepowrona *Nycticorax nycticorax* (1 274 p.). Trend spadkowy dotyczył m.in. kulika wielkiego *Numenius arquata* (176 p.), dubelta *Gallinago media* (450 samców), sieweczki obrożnej *Charadrius hiaticula* (217 p.), mewy czarnogłowej *Ichthyaetus melanocephalus* (53 p.), rybołowa *Pandion haliaetus* (25 p.), gadożera *Circaetus gallicus* (4 p.), kraski *Coracias garrulus* (16 p.) i pomurnika *Tichodroma muraria* (min. 1 p.). Populacje podgorzałki *Aythya nyroca* (121 p.), orlika grubodziobego *Clanga clanga* (14 p.; w tym 5 czystych par), orła przedniego *Aquila chrysaetos* (34 p.) i wodniczki *Acrocephalus paludicola* (3 786 s.) utrzymywały się na stabilnym poziomie. Fluktuacje lub nieznanne trendy liczebności dotyczyły: ohara *Tadorna tadorna* (115 p.), ostrygojada *Haematopus ostralegus* (36 p.), pliszki cytrynowej *Motacilla citreola* (39 p. poza doliną Biebrzy) oraz taksonów, których liczebność nie przekroczyła 10 p.: bernikli kanadyjskiej *Branta canadensis* (1 p.), szcudłaka *Himantopus himantopus* (3 p.), szablodzioba *Recurvirostra avosetta* (7 p.), rybitwy czubatej *Thalasseus sandvicensis* (2 p.), uszatki błotnej *Asio flammeus* (1 p.), „srokosza stepowego” *Lanius excubitor homeyeri* (5 p.), czarnowrona *Corvus corone* (7 p.), wójcika *Phylloscopus trochiloides* (3 p.) i „pliszki tundrowej” *M. flava thunbergi* (3 p.). Nie wykryto lęgów aleksandretty obrożnej *Psittacula krameri* i drożdżika *Turdus iliacus*.

Słowa kluczowe: rzadkie ptaki lęgowe, rozmieszczenie, liczebność, trendy, regiony, Polska, raport 2020

Rare Birds Panel in Poland – report of 2020 for breeding species. Abstract: The report presents results of the Rare Birds Panel for breeding species in Poland in 2020. The status of breeding populations of 34 rare taxa (32 species and 2 subspecies) is described, including their abundance, distribution and trends. Variable, species-specific periods for trends assessments are given in the species overview. Record numbers were reported for: the Whooper Swan *Cygnus cygnus* (226 pairs), Egyptian Goose *Alopochen aegyptiaca* (32 p.), Great Egret *Ardea alba* (689 p.), Great Grey Owl *Strix nebulosa* (16 p.) and Peregrine Falcon *Falco peregrinus* (56 p.). In addition, increases in abundance were recorded for: the Red-crested Pochard *Netta rufina* (47 p.), Mandarin Duck *Aix galericulata* (88 p.) and Black-crowned Night Heron *Nycticorax nycticorax* (1 274 p.). The declining trend was detected for: the Eurasian Curlew *Numenius arquata* (176 p.), Great Snipe *Gallinago media* (450 males), Common Ringed Plover *Charadrius hiaticula* (217 p.), Mediterranean Gull *Ichthyaetus melanocephalus* (53 p.), Western Osprey *Pandion haliaetus* (25 p.), Short-toed Snake Eagle *Circaetus gallicus* (4 p.), European Roller *Coracias garrulus* (16 p.) and Wallcreeper *Tichodroma muraria* (min. 1 p.). Populations of the Ferruginous Duck *Aythya nyroca* (121 p.), Greater Spotted Eagle *Clanga clanga* (14 p.; including 5 pure pairs), Golden Eagle *Aquila chrysaetos* (34 p.) and Aquatic Warbler *Acrocephalus paludicola* (3 786 p.) remained stable. Fluctuations or unknown trends in abundance were observed for the Common Shelduck *Tadorna tadorna* (115 p.), Eurasian Oystercatcher *Haematopus ostralegus* (36 p.), Citrine Wagtail *Motacilla citreola* (39 p. outside the Biebrza Valley). Taxa whose abundance did not exceed 10 p. were: the Canada Goose *Branta canadensis* (1 p.),

Black-winged Stilt *Himantopus himantopus* (3 p.), Pied Avocet *Recurvirostra avosetta* (7 p.), Sandwich Tern *Thalasseus sandvicensis* (2 p.), Short-eared Owl *Asio flammeus* (1 p.), Homeyer's Great Grey Shrike *Lanius excubitor homeyeri* (5 p.), Carrion Crow *Corvus corone* (7 p.), Greenish Warbler *Phylloscopus trochiloides* (3 p.) and Grey-headed Wagtail *M. flava thunbergi* (3 p.). There were no breeding records of the Rose-ringed Parakeet *Psittacula krameri* and Redwing *Turdus iliacus*.

Key words: rare breeding species, distribution, numbers, trends, regions, Poland, report 2020

Niniejszy raport podsumowuje dane zgromadzone w ramach działającej przy Muzeum i Instytucie Zoologii Polskiej Akademii Nauk Kartoteki Rzadkich Ptaków (KRP) (Komisja Faunistyczna & Kartoteka Rzadkich Ptaków 2018). W roku 2020 raportowaniem objęto 34 taksony (32 gatunki i 2 podgatunki) rzadko gniazdujących ptaków w Polsce.

Material i metody

W przypadku 16 gatunków materiały do raportu pochodzą przede wszystkim z Monitoringu Ptaków Polski (MPP) realizowanego w ramach Państwowego Monitoringu Środowiska i prowadzonego przez Główny Inspektorat Ochrony Środowiska, dzięki finansowaniu Narodowego Funduszu Ochrony Środowiska i Gospodarki Wodnej (www.monitoringptakow.gios.gov.pl). Od początku funkcjonowania MPP działania te realizują Ogólnopolskie Towarzystwo Ochrony Ptaków oraz Muzeum i Instytut Zoologii PAN, we współpracy z innymi organizacjami (np. Chylarecki et al. 2018, Chodkiewicz et al. 2018, 2019, Wardecki et al. 2021). Materiały te uzupełniono danymi pochodzącymi: 1) z kartotek regionalnych – baza obserwacji Małopolskiego Towarzystwa Ornitologicznego dbPtak, Kartoteka Awifauny Lubelszczyzny, Kartoteka Awifauny Śląska, Kartoteka Mazowiecko-Świętokrzyskiego Towarzystwa Ornitologicznego, Kartoteka Przyrodnicza Towarzystwa Badań i Ochrony Przyrody, Kartoteka Ornitologiczna Ziemi Łódzkiej, Pomorska Kartoteka Ornitologiczna, Warmińsko-Mazurska Kartoteka Ornitologiczna, Wielkopolska Kartoteka Ornitologiczna; 2) z portalu Ornitho.pl (www.ornitho.pl); 3) z projektu „Realizacja Krajowego Planu Ochrony Kulika Wielkiego – etap I”, współfinansowanego ze środków UE (POIiŚ 2014–2020), realizowanego przez Towarzystwo Przyrodnicze Bocian; 4) ze Stowarzyszenia Na Rzecz Dzikich Zwierząt Sokół realizującego projekt „Restytucja sokoła wędrownego w Polsce” współfinansowanego ze środków UE (POIiŚ 2014–2020) oraz ze środków Wojewódzkiego Funduszu Ochrony Środowiska we Wrocławiu; 5) ze stron internetowych, np. www.clanga.com, Atlas Sów Polski Stowarzyszenia Ochrony Sów i stron regionów ornitologicznych; 6) z publikowanych lub niepublikowanych raportów o rzadkich ptakach dla poszczególnych obszarów; 7) z publikacji zawierających informacje o gatunkach rzadkich oraz 8) bezpośrednio od obserwatorów.

Dane zestawiono dla 14 regionów. Granice regionów wytyczono w oparciu o siatkę kwadratów 10×10 km w układzie współrzędnych 1992 (rys. 1). Układ ten jest aktualnie stosowany w regionalnych atlasach rozmieszczenia ptaków oraz podczas wyznaczania powierzchni w MPP. Podział na regiony przyjęty na potrzeby działania KRP nie oznacza, że we wszystkich przypadkach granice te pokrywają się ściśle z granicami poszczególnych regionów ornitologicznych. Zastosowanie jednolitego systemu pozycjonowania przestrzennego opartego na koordynatach geograficznych i kwadratach 10×10 km (lub ich części, np. w siatce 1×1 km) umożliwia wykorzystanie danych do prezentowania informacji o ptakach niezależnie od zmieniających się podziałów administracyjnych, czy nie zawsze bezspornie ustalonych granic regionów ornitologicznych. Łączny obszar kraju, dla którego rejestrowano dane o ptakach lęgowych, wynosi $312\,679$ km² (wliczono tu morskie wody wewnętrzne obejmujące zalewy przymorskie).



Rys. 1. Podział Polski na regiony, do których przypisane są wyniki zebrane w ramach działań Kartoteki Rzadkich Ptaków. Skrótów nazw regionów objaśniono w tabeli 1

Fig. 1. The division of Poland into regions of data collection within the Rare Birds Panel (KRP). Abbreviations of region names are explained in Table 1

Zakres prezentowanych wyników

W raporcie omówiono gatunki o liczebności populacji krajowej do 300 par oraz cztery liczniejsze, jednak występujące na niewielkim obszarze, tj. dubelta *Gallinago media*, ślepowrona *Nycticorax nycticorax*, czapłę białą *Ardea alba* i wodniczkę *Acrocephalus paludicola* (Chodkiewicz et al. 2019). Pominięto tu kilkanaście gatunków wyjątkowo gniazdujących w kraju, których lęgi podlegają weryfikacji przez Komisję Faunistyczną (www.komisjafaunistyczna.pl) oraz kilka gatunków skrajnie nielicznie lęgowych, np. głuszca *Tetrao urogallus*, cietrzewia *Lyrurus tetrix* i puchacza *Bubo bubo* (Chodkiewicz et al. 2019). Te ostatnie nie zostały uwzględnione w KRP z uwagi na niekompletność danych w skali kraju, np. z powodu trudności metodycznych w ocenie corocznej liczebności populacji lęgowej. Wyjątkami są tu drożdзик *Turdus iliacus*, dla którego dane są niekompletne, ale jednocześnie populacja silnie spada i wymaga on specjalnej uwagi (Wilk et al. 2020) oraz pliszka cytrynowa *Motacilla citreola*, dla której gromadzone są dane poza główną ostoją gatunku na Bagnach Biebrzańskich (Krajewski 2016, Stawarczyk et al. 2017).

Wśród omówionych taksonów 30 pojawia się w kraju naturalnie a 4 gatunki, pochodzące z dawnych introdukcji, uważane są obecnie za gatunki wtórnie naturalne (Stawarczyk et al. 2017, www.komisjafaunistyczna.pl), tj. bernikla kanadyjska *Branta canadensis*, gęsiówka egipska *Alopochen aegyptiaca*, mandarynka *Aix galericulata* i aleksandretta obroźna *Psittacula krameri*.

Tabela 1. Regiony, w których zbierane są informacje w Kartotece Rzadkich Ptaków oraz ich powierzchnia, liczba kwadratów i koordynatorzy

Table 1. Regions of data collection within the Rare Birds Panel (1) and their area (2), number of 10 × 10 km plots (3) and coordinators (4)

Region (1)	Powierzchnia [km ²] (2)	Liczba kwadratów 10 × 10 km (3)	Koordynatorzy (4)
Dolny Śląsk (DS)	24 709	274	Bartosz Smyk
Górny Śląsk (GS)	11 928	135	Szymon Beuch
Kujawy (KU)	12 417	124	Andrzej Dylik
Lubelszczyzna (LL)	21 269	227	Robert Cymbała
Małopolska (MP)	20 075	214	Stanisław Czyż
Mazowsze (MZ)	39 995	404	Łukasz Matyjasiaak
Podlasie (PL)	18 672	207	Grzegorz Grygoruk
Podkarpacie (PK)	18 018	198	Wojciech Guzik
Pomorze (PM)	46 159	507	Zbigniew Kajzer
Warmia i Mazury (WM)	23 583	247	Krzysztof Jankowski
Wielkopolska (WP)	35 836	358	Przemysław Wylegała
Ziemia Lubuska (ZL)	11 484	124	Paweł Czechowski
Ziemia Łódzka (LD)	14 520	145	Marcin Wężyk
Ziemia Świętokrzyska (SW)	14 014	140	Piotr Dębowski
Polska	312 679	3 304	Szymon Beuch, Tomasz Chodkiewicz, Łukasz Ławicki, Arkadiusz Sikora, Przemysław Wylegała

W roku 2020 nie odnotowano lęgów drożdżika oraz aleksandretty obroźnej, stąd nie wymieniono ich w przeglądzie gatunków.

Liczebność

Dla każdego z gatunków podano łączną liczbę par/samców/terytoriów stwierdzonych w danym roku na podstawie określonych kategorii gniazdowania dla poszczególnych gatunków (tab. 2). Specyficzne kryteria stosowane w MPP zawierają instrukcje dostępne na stronie internetowej tego programu (www.monitoringptakow.gios.gov.pl). Natomiast dla pozostałych gatunków uwzględniono kryteria lęgowości zawarte w instrukcji przygotowanej na potrzeby portalu ornitho.pl (Wilk 2016). Liczebność osiadłej populacji mandarynki w Warszawie i Pruszkowie oceniono w oparciu o wyniki liczeń ptaków na początku sezonu lęgowego, uwzględniając stwierdzenia obejmujące kategorie gniazdowania pewnego i prawdopodobnego (F. Hayatli, Ł. Wardecki). Szczegóły dotyczące metody oszacowania liczebności wodniczki znajdują się w raporcie z roku 2018 (Sikora et al. 2020). Na mapach zaprezentowano sumy par/samców/terytoriów odnotowane w analizowanym roku w obrębie kwadratów 10 × 10 km.

Rozpowszechnienie

Parametr ten jest miarą wielkości zajmowanego arealu lęgowego i został wyrażony jako procent powierzchni 10 × 10 km, na których wykazano gatunek jako lęgowy wśród 3 304 powierzchni w całym kraju lub w odniesieniu do liczby kwadratów w poszczególnych regionach.

Tabela 2. Kategorie lęgowości wykorzystane do określenia liczebności raportowanych gatunków: A – gniazdowanie możliwe, B – gniazdowanie prawdopodobne, C – gniazdowanie pewne. * – B i C dla populacji w Warszawie i Pruszkowie, C – dla pozostałych stanowisk; ** – stwierdzenia gniazdowania prawdopodobnego (PR i TE) odnotowane w okresie czerwiec–lipiec

Table 2. Breeding categories used to determine the population size of the reported species: A – breeding possible, B – breeding probable, C – breeding confirmed. (1) – species, (2) – breeding category. * – B and C for the population in Warsaw and Pruszków, C – for the other sites, ** – probable breeding (PR and TE) recorded in June–July

Gatunek (1)	Kategorie lęgowości (2)
Łabędź krzykliwy <i>Cygnus cygnus</i>	B, C
Bernikla kanadyjska <i>Branta canadensis</i>	C
Gęsiówka egipska <i>Alopochen aegyptiaca</i>	C
Ohar <i>Tadorna tadorna</i>	B, C
Hełmiatka <i>Netta rufina</i>	B, C
Podgorzałka <i>Aythya nyroca</i>	B, C
Mandarynka <i>Aix galericulata</i>	B, C*
Ostrygojad <i>Haematopus ostralegus</i>	B, C
Szczudłak <i>Himantopus himantopus</i>	BU, C
Szablodziób <i>Recurvirostra avosetta</i>	BU, C
Kulik wielki <i>Numenius arquata</i>	B, C
Dubelt <i>Gallinago media</i>	A, B, C
Sieweczka obrożna <i>Charadrius hiaticula</i>	B, C
Mewa czarnogłowa <i>Ichthyaeetus melanocephalus</i>	C
Rybitwa czubata <i>Thalasseus sandvicensis</i>	C
Ślepowron <i>Nycticorax nycticorax</i>	C
Czapla biała <i>Ardea alba</i>	B, C
Rybołów <i>Pandion haliaeetus</i>	B, C
Gadożer <i>Circaetus gallicus</i>	B, C
Orlik grubodzioby <i>Clanga clanga</i>	B, C
Orzeł przedni <i>Aquila chrysaetos</i>	B, C
Uszatka błotna <i>Asio flammeus</i>	B, C
Puszczyk mszarny <i>Strix nebulosa</i>	A, B, C
Kraska <i>Coracias garrulus</i>	B, C
Sokół wędrowny <i>Falco peregrinus</i>	B, C
Aleksandretta obrożna <i>Psittacula krameri</i>	C
„Srokosz stepowy” <i>Lanius excubitor homeyeri</i>	B, C
Czarnowron <i>Corvus corone</i>	B, C
Wodniczka <i>Acrocephalus paludicola</i>	A, B, C
Wójcik <i>Phylloscopus trochiloides</i>	NP, BU i C
Pomurnik <i>Tichodroma muraria</i>	A, B, C
Drożdżik <i>Turdus iliacus</i>	B, C
„Pliszka tundrowa” <i>Motacilla flava thunbergi</i>	B, C
Pliszka cytrynowa <i>Motacilla citreola</i>	PR, TE**, NP, BU i C

Trendy liczebności

Trendy liczebności podano na podstawie wyników z raportów MPP i publikowanych danych (np. Stawarczyk et al. 2017, Chylarecki et al. 2018, Chodkiewicz et al. 2019, MPP 2020).

Kompletność danych

Uzyskanie kompletnych danych w skali kraju dla wszystkich rzadkich lęgowych taksonów nie jest możliwe. W niniejszym opracowaniu zastosowano 4-stopniową klasyfikację kompletności danych (tab. 3). Punktem odniesienia jest najnowsza ocena liczebności populacji lęgowych dla okresu 2013–2018 (Chodkiewicz et al. 2019) w odniesieniu do stopnia zbadania potencjalnych siedlisk gniazdowania poszczególnych gatunków. Podanie tej informacji ułatwia zorientowanie się co do kompletności danych w roku sprawozdawczym i jednocześnie jest istotne do właściwej interpretacji wyników w kolejnych sezonach.

Tabela 3. Ocena kompletności danych dla gatunków lęgowych rejestrowanych w Kartotece Rzadkich Ptaków

Table 3. Assessment of the completeness of data for the breeding species registered in the Rare Birds Panel. (1) – category, (2) – description, (3) – degree of country coverage by data, (4) – very high, (5) – high, (6) – moderate, (7) – low

Kategoria kompletności (1)	Opis (2)	Kompletność pokrycia kraju danymi [%] (3)
Bardzo wysoka (4)	Dane pełne lub niemal pełne w skali kraju	91–100
Wysoka (5)	Wyniki w małej części niekompletne, dla części stanowisk lęgowych brak danych	71–90
Średnia (6)	Pobieżne rozpoznanie, brakuje danych z szeregu ważnych lęgowisk	51–70
Niska (7)	Brak danych z ponad połowy lęgowisk krajowych; niejednokrotnie liczebność z raportowanych miejsc niekompletna	do 50

Przegląd gatunków

Łabędź krzykliwy *Cygnus cygnus*

Liczebność: 226 p.	Trend: wzrost (2007–2020)	Kompletność: wysoka
--------------------	---------------------------	---------------------

Stwierdzono 226 p. na 163 powierzchniach we wszystkich regionach kraju (MPP 2020) (tab. 4). Najliczniej i najpowszechniej występował w obrębie Pomorza, Warmii i Mazur, Podlasia, Dolnego Śląska oraz w Wielkopolsce. W tych regionach odnotowano łącznie 182 p. (81% wszystkich par wykrytych w Polsce). W Małopolsce, na Ziemi Świętokrzyskiej i Lubuskiej, Mazowszu oraz Kujawach wykryto od 6 do 10 p., a w pozostałych czterech regionach po 1–4 p. Największe skupienia par liczące od 17 do 21 p. stwierdzono w OSO Ostoja Warmińska (A. Sikora i in.), Puszcza Napiwodzko-Ramucka (A. Sikora i in.) i Dolina Baryczy (W. Lenkiewicz, B. Orłowska), a 6–10 p. w OSO Dolina Słupi (M. Ziółkowski i in.), Puszcza Knyszyńska (G. Grygoruk, T. Tumiel), Puszcza Notecka (M. Barcz, D. Kujawa), Lasy Iławskie (M. Rodziewicz, K. Musiał) i Ostoja Ińska (Z. Kajzer, M. Sobieraj, M. Sołowiej). W porównaniu do roku 2019 liczba par w Polsce wzrosła o 19%,

czyli powyżej średniego rocznego tempa wzrostu w latach 2007–2016 wynoszącego 11% (Chylarecki et al. 2018).

Tabela 4. Liczba par, zajętych powierzchni 10 × 10 km i rozpowszechnienie łabędzia krzykliwego *Cygnus cygnus* w regionach ornitologicznych Polski w roku 2020

Table 4. Number of pairs (1), occupied 10 × 10 km squares (2) and occupancy (3) of the Whooper Swan in ornithological regions in Poland in 2020

	DS	GS	KU	LD	LL	MP	MZ	PK	PL	PM	SW	WM	WP	ZL	Razem (4)
N par (1)	30	1	7	1	2	9	10	1	23	61	6	50	18	7	226
N pow (2)	19	1	6	1	2	7	9	1	18	47	5	33	10	4	163
Rozp (%) (3)	6,9	0,7	4,8	0,7	0,9	3,3	2,2	0,5	8,7	9,3	3,6	13,4	2,8	3,2	4,9

Bernikła kanadyjska *Branta canadensis*

Liczebność: 1 p.	Trend: fluktuacje (2004–2020)	Kompletność: wysoka
------------------	-------------------------------	---------------------

W dniach 05.05 oraz 21.05 stwierdzono parę, w tym ptaka wysiadującego na gnieździe, w zalany wyrobisku w kopalni chalcodonitu w Inowłodzu na Ziemi Łódzkiej, co było pierwszym przypadkiem lęgu w tym regionie. Lęg został utracony (S. Kielan). W latach 2004–2019 populacja krajowa wahała się od 1 do 5 p., a ptaki gniazdowały najczęściej w parkach Gdańska (Meissner & Bzoma 2009, Stawarczyk et al. 2017, Chodkiewicz et al. 2015, 2019, Ławicki et al. 2021).

Gęsiówka egipska *Alopochen aegyptiaca*

Liczebność: 32 p.	Trend: wzrost (2007–2020)	Kompletność: wysoka
-------------------	---------------------------	---------------------

Stwierdzono 32 pary na 27 stanowiskach. Gniazdowanie odnotowano w 5 regionach, w tym po 9 p. na Dolnym Śląsku i w Małopolsce, 6 p. na Górnym Śląsku, 5 p. w Wielkopolsce i 3 p. na Pomorzu (tab. 5). Na 23 stanowiskach stwierdzono pary z młodymi (łącznie co najmniej 116 pull.), a na pozostałych ptaki wysiadujące. Większość stanowisk (85%) była zasiedlona przez pojedyncze pary. Na 3 stanowiskach stwierdzono po 2 p.: na Stawach Podgórzeńskich na Dolnym Śląsku (A. Niżnik i in.), w żwirowniach w Brzegach w Małopolsce (M. Nowicki, A. Chwierut) i Włoszakowicach w Wielkopolsce (A. Muszyńska, R. Kępa). Największą liczebność – 3 p. z młodymi, odnotowano w żwirowni w Chlewicach w Dolinie Dolnej Odry (Ł. Ławicki in.). Liczebność gęsiówki egipskiej wzrasta z roku na rok i po raz pierwszy przekroczyła 30 p. (Ławicki et al. 2021).

Tabela 5. Liczba par, zajętych powierzchni 10 × 10 km i rozpowszechnienie gęsiówki egipskiej *Alopochen aegyptiaca* w regionach ornitologicznych Polski w roku 2020

Table 5. Number of pairs (1), occupied 10 × 10 km squares (2) and occupancy (3) of the Egyptian Goose in ornithological regions in Poland in 2020. (4) – total

	DS	GS	KU	LD	LL	MP	MZ	PK	PL	PM	SW	WM	WP	ZL	Razem (4)
N par (1)	9	6				9				3			5		32
N pow (2)	8	6				8				1			4		27
Rozp (%) (3)	2,9	4,4				3,7				0,2			1,1		0,8

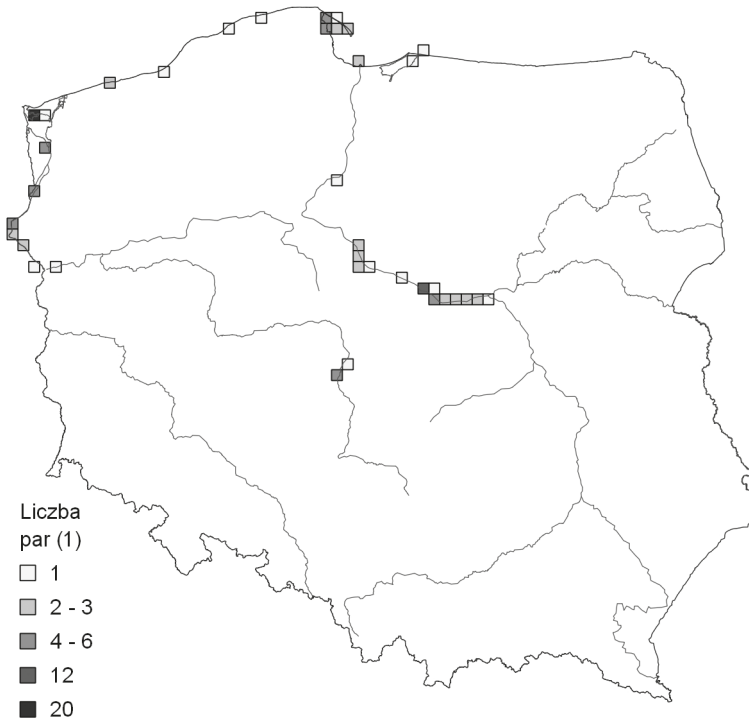
Ohar *Tadorna tadorna*

Liczebność: 115 p.

Trend: nieznan

Kompletność: bardzo wysoka

Gniazdował w liczbie 115 par na 37 powierzchniach rozmieszczonych w 5 regionach (MPP 2020) (rys. 2, tab. 6). Najważniejszym obszarem występowania była Dolina Dolnej Odry wraz z Zalewem Szczecińskim skupiająca łącznie 43 p., z czego 20 p. w OSO Delta Świny (fot. 1) (Z. Kajzer, M. Jasiński). Znaczna część populacji zasiedlała też OSO Dolina Środkowej Wisły, gdzie stwierdzono 41 par. Największe zagęszczenie (21 p.) wykazano tu na odcinku Wisły między Wyszogrodem a Płockiem (A. Różycki i in.). W rejonie Zatok Gdańskiej i Zalewu Wiślanego stwierdzono 20 p. (A. Sikora, M. Koss, M. Ściborski).



Rys. 2. Rozmieszczenie stanowisk lęgowych ohara *Tadorna tadorna* w Polsce w roku 2020

Fig. 2. Distribution of the Common Shelduck breeding sites in Poland in 2020. (1) – number of breeding pairs in each 10 × 10 km square

Tabela 6. Liczba par, zajętych powierzchni 10 × 10 km i rozpowszechnienie ohara *Tadorna tadorna* w regionach ornitologicznych Polski w roku 2020

Table 6. Number of breeding pairs (1), occupied 10 × 10 km squares (2) and occupancy (3) of the Common Shelduck in ornithological regions in Poland in 2020. (4) – total

	DS	GS	KU	LD	LL	MP	MZ	PK	PL	PM	SW	WM	WP	ZL	Razem (4)
N par (1)			11	5			30			68				1	115
N pow (2)			6	2			8			20				1	37
Rozp (%) (3)			4,8	1,4			2,0			4,0				0,8	1,1

Pozostałe stanowiska znajdowały się: na 4 jeziorach przymorskich – Resko, Jamno, Gardno i Łebsko – łącznie 5 p. (M. Jasiński, P. Zaborowski, G. Jędro), nad zb. Jeziorsko – 5 p. (T. Janiszewski) oraz w PN Ujście Warty – 1 p. (M. Wołowik, P. Baranowski). Liczebność populacji ohara w roku 2020 mieści się w dolnym zakresie oceny z lat 2013–2018 (Chodkiewicz et al. 2019).



Fot. 1. Ohar *Tadorna tadorna*, Delta Świny, Pomorze, 10.05.2020 (fot. Z. Kajzer) – *Common Shelduck*, Świna river delta, May 2020

Hełmiatka *Netta rufina*

Liczebność: 47 p.

Trend: wzrost (2013–2020)

Kompletność: wysoka

Gniazdowała w Polsce w liczbie 47 par stwierdzonych na 11 powierzchniach w 5 regionach (tab. 7). W najważniejszym dla hełmiatki regionie, Górnym Śląsku, stwierdzono 39 p., z których większość zasiedlała 2 kompleksy stawowe w dolinie górnej Odry – Łęczczok (17 p.) i Wielikąt (14 p.) (A. Dybich, S. Beuch, M. Nagler), a więc podobnie jak w poprzednim sezonie (Ławicki et al. 2021). Pozostałe górnośląskie stanowiska to żwirownia Roszków – 3 p. (D. Światała, G. Chlebiak), stawy Dębowiec – 3 p. (G. Schneider, J. Gil) oraz stawy Ochaby Wielkie – 2 p. (G. Schneider i in.). Poza Górnym Śląskiem stwierdzono 7 p. Na Mazurach obserwowano po 1 p. na Jez. Ryńskim i Kirsajty (A. Włodarczak-Komościńska, M. Derda, T. Orzechowski, D. Częstkiewicz). Na Ziemi Świętokrzyskiej stwierdzono samicę z 5 pull. na stawach w Górkach (M. Jantarski). W Małopolsce 1 p. gniazdowała na stawach Spytkowice (S. Sendera i in.), a ponadto wysiadywane gniazdo znaleziono na wyspie w żwirowni Jankowice-Zakole (J. Betleja, M. Ledwoń). Na Dolnym Śląsku obserwowano pojedyncze pary na stawach Radziądź i stawach Stawno w dolinie Baryczy (W. Lenkiewicz) oraz samicę z 2 pull. na stawach Bielice w Borach Stobrawskich (M.

Stajszczyk, J. Regner). Zarówno liczebność, jak i liczba zasiedlonych stanowisk hełmiatki w roku 2020 były nieco niższe od wartości z roku 2019, kiedy stwierdzono 52 p. na 13 powierzchniach (Ławicki et al. 2021), np. 5 p. mniej wykazano w górnośląskiej części OSO Dolina Górnej Wisły oraz 3 p. mniej na Mazurach.

Tabela 7. Liczba par, zajętych powierzchni 10 × 10 km i rozpowszechnienie hełmiatki *Netta rufina* w regionach ornitologicznych Polski w roku 2020

Table 7. Number of breeding pairs (1), occupied 10 × 10 km squares (2) and occupancy (3) of the Red-crested Pochard in ornithological regions in Poland in 2020. (4) – total

	DS	GS	KU	LD	LL	MP	MZ	PK	PL	PM	SW	WM	WP	ZL	Razem (4)
N par (1)	3	39				2					1	2			47
N pow (2)	3	4				2					1	2			12
Rozp (%) (3)	1,1	3,0				0,9					0,7	0,8			0,4

Podgorzałka *Aythya nyroca*

Liczebność: 121 p.

Trend: stabilny (2007–2020)

Kompletność: bardzo wysoka

Stwierdzono 121 p. w 6 regionach na 19 powierzchniach (MPP 2020) (tab. 8). Najliczniej zasiedlała stawy w Budzie Stalowskiej na Podkarpaciu, gdzie odnotowano 53 p. (J. Grzybek). Kolejnymi ważnymi obszarami gniazdowania była Dolina Baryczy, gdzie wykazano 35 p. na 14 stanowiskach (W. Lenkiewicz, B. Orłowska) oraz Lubelszczyzna z 26 p. na 11 stanowiskach (Ł. Bednarz, M. Urban). Stanowiskiem skupiającymi najwięcej par w Dolinie Baryczy były stawy w Rudzie Sułowskiej (staw Mewi Duży – 13 p. i Trześniówka Dolna – 4 p.) (W. Lenkiewicz), a na Lubelszczyźnie: Zahajki (6 p.) i Mosty (4 p.) (Ł. Bednarz). Pojedyncze pary odnotowano w 7 miejscach: w Małopolsce na stawach Monowskich, Bugaj, Przeręb i Spytkowice (D. Wiehle), na Pomorzu na jez. Dąbie (Z. Kajzer i in.) i jez. Drużno (B. Manikowska-Ślepowrońska i in.) oraz w Wielkopolsce na stawach w Zglińcu (J. Stępniewski). Liczebność podgorzałki w roku 2020 jest jedną z najwyższych w ostatnich latach (Chylarecki et al. 2018, Sikora et al. 2020, Ławicki et al. 2021). Zwraca uwagę bardzo niska produktywność z 39 młodymi w 9 rodzinach.

Tabela 8. Liczba par, zajętych powierzchni 10 × 10 km i rozpowszechnienie (%) podgorzałki *Aythya nyroca* w regionach ornitologicznych Polski w roku 2020

Table 8. Number of pairs (1), occupied 10 × 10 km squares (2) and occupancy (3) of the Ferruginous Duck in ornithological regions in Poland in 2020. (4) – total

	DS	GS	KU	LD	LL	MP	MZ	PK	PL	PM	SW	WM	WP	ZL	Razem (4)
N par (1)	35				26	4		53		2			1		121
N pow (2)	4				8	3		1		2			1		19
Rozp (%) (3)	1,5				3,5	1,4		0,5		0,4			0,3		0,6

Mandarynka *Aix galericulata*

Liczebność: 88 p.

Trend: wzrost (2001–2020)

Kompletność: wysoka

Gniazdowała na 8 powierzchniach w 4 regionach, w łącznej liczbie 88 par (tab. 9). Większość krajowej populacji łęgowej zasiedlała Warszawę, gdzie jej łączną liczebność oceniono na maksymalnie 80 p., w tym wykryto 20 samic z młodymi (Ł. Wardecki, F. Hayatli). Blisko połowa tej populacji zasiedlała Park Łazienki Królewskie, a pozostałe stanowiska zlokalizowane były w innych częściach miasta, głównie w parkach (Skaryszew-

ski, Promenada, Kępa Potocka), a także w Porcie Czerniakowskim oraz nad Wisłą. Gniazdowanie 3 p. stwierdzono w Pruszkowie (Ł. Wardecki, A. Życki). Po raz pierwszy od roku 2016 nie stwierdzono lęgów w warszawskim Ogrodzie Zoologicznym. Poza Mazowszem obserwowano 4 samice wodzące młode: 2 w Radzynie Podlaskim (M. Karwowski) i po 1 w Brzegu (M. Stajszczyk) i Nysie (D. Siwy) na Dolnym Śląsku. Nad rzeką Olzą w Cieszynie na Górnym Śląsku obserwowano parę przy dziupli (M. Karpeta). Mniejsza liczba zaobserwowanych samic wodzących młode, w porównaniu z poprzednimi latami, związana była najprawdopodobniej z niższą aktywnością obserwatorów wynikającą z obustrzeń związanych ze stanem pandemii. Pierwszy lęg mandarynki w Polsce stwierdzono w roku 2001 w Parku Łazienki Królewskie w Warszawie (Mazgajski & Mazgajska 2004). W ciągu 20 lat jej populacja wzrosła w kraju do około 100 p. (Hayatli et al. 2022).

Tabela 9. Liczba par, zajętych powierzchni 10×10 km i rozpowszechnienie mandarynki *Aix galericulata* w regionach ornitologicznych Polski w roku 2020

Table 9. Number of breeding pairs (1), occupied 10×10 km squares (2) and occupancy (3) of the Mandarin Duck in ornithological regions in Poland in 2020. (4) – total

	DS	GS	KU	LD	LL	MP	MZ	PK	PL	PM	SW	WM	WP	ZL	Razem (4)
N par (1)	2	1			2		83								88
N pow (2)	2	1			1		5								8
Rozp (%) (3)	0,7	0,7			0,4		1,2								0,27

Ostrygojad *Haematopus ostralegus*

Liczebność: 36 p.

Trend: nieznan (2018–2020)

Kompletność: bardzo wysoka

Stwierdzono 36 par w 6 regionach (MPP 2020) (tab. 10). Najważniejszym lęgowiskiem był OSO Dolina Środkowej Wisły skupiający 31 p., z których połowa występowała na odcinku między Kazimierzem Dolnym a ujściem Pilicy (Ł. Bednarz, D. Bukaciński, A. Różycki i in.). Pozostałe stanowiska znajdowały się w Dolinie Dolnej Odry między Kalleńskiem a Bielinkiem, gdzie gniazdowały 4 p. (Ł. Ławicki i in.) oraz 1 p. w PN Ujście Warty (M. Wołowik, P. Baranowski). W porównaniu do poprzedniego sezonu liczebność na stanowiskach w zachodniej Polsce pozostała taka sama, natomiast wykazano aż o 10 p. więcej na Wiśle (Ławicki et al. 2021). Wynika to przede wszystkim z lepszej wykrywalności stanowisk ostrygojada dzięki rozpoczęciu w roku 2020 monitoringowi prowadzonemu na całym odcinku rzeki (MPP 2020). Liczebność ostrygojada w roku 2020 jest zgodna z dotychczasowymi szacunkami, które określały ją na 20–35 p. (Chodkiewicz et al. 2019).

Tabela 10. Liczba par, zajętych powierzchni 10×10 km i rozpowszechnienie (%) ostrygojada *Haematopus ostralegus* w regionach ornitologicznych Polski w roku 2020

Table 10. Number of pairs (1), occupied 10×10 km squares (2) and occupancy (3) of the Eurasian Oystercatcher in ornithological regions in Poland in 2020. (4) – total

	DS	GS	KU	LD	LL	MP	MZ	PK	PL	PM	SW	WM	WP	ZL	Razem (4)
N par (1)					4		21	3		4	3			1	36
N pow (2)					3		10	3		3	2			1	22
Rozp (%) (3)					1,3		2,5	1,5		0,6	1,4			0,8	0,7

Szczudłak *Himantopus himantopus*

Liczebność: 3 p.

Trend: fluktuacje (2000–2020)

Kompletność: wysoka

Stwierdzono 3 pary na 3 stanowiskach (tab. 11). Pierwsze wykryto nad Narwią k. Piątnicy na Mazowszu, gdzie 20.06 sfotografowano parę z 2 pisklętami (O. Myka). Drugie stanowisko odnotowano na osadnikach Zakładów Azotowych w Puławach na Lubelszczyźnie, gdzie w czerwcu stwierdzono parę z gniazdem, a następnie z 4 młodymi, które przebywały tam do końca sierpnia (J. Stalenga i in.). Trzecia para przystąpiła do lęgu na Stawach Adolfińskich w Małopolsce, gdzie w okresie 15–23.07 obserwowano ją wielokrotnie z 2 młodymi (J. Betleja i in.). Dobry rok dla tego gatunku można wiązać z rekordowym nalo-tem wiosną 2020 (Wylegała et al. 2022). Populacja lęgowa szczudłaka w Polsce wahała się od 0 do 7 p. w latach 1994–2020 (Stawarczyk et al. 2017, Ławicki et al. 2021).

Tabela 11. Liczba par, zajętych powierzchni 10×10 km i rozpowszechnienie (%) szczudłaka *Himantopus himantopus* w regionach ornitologicznych Polski w roku 2020

Table 11. Number of pairs (1), occupied 10×10 km squares (2) and occupancy (3) of the Black-winged Stilt in ornithological regions in Poland in 2020. (4) – total

	DS	GS	KU	LD	LL	MP	MZ	PK	PL	PM	SW	WM	WP	ZL	Razem (4)
N par (1)					1	1	1								3
N pow (2)					1	1	1								3
Rozp (%) (3)					0,4	0,5	0,2								0,1

Szablodziób *Recurvirostra avosetta*

Liczebność: 7 p.

Trend: fluktuacje (2000–2020)

Kompletność: wysoka

Stwierdzono 7 par na 2 stanowiskach (tab. 12). Na zb. Rydzyna pod Leszkiem obserwowano 3 p., z których 2 przystąpiły do lęgów i z sukcesem odchowwały 6 młodych (Muszyńska 2022a). Kolejne stanowisko wykryto na zb. Jeziorsko, gdzie stwierdzono 6 p., ale lęgi podjęło 5 z nich. Ptaki gniazdowały tam w dwóch różnych miejscach. Najpierw 3 p. z gniazdami znaleziono w okolicach m. Glinno, ale lęgi zakończyły się niepowodzeniem ze względu na podniesienie się poziomu wody i zatopienie gniazd. Następnie 5 p. (3 powyższe i 2 nowe) przystąpiło do lęgów k. Miłkowic i wyprowadziło min. 11 piskląt. Wszystkie młode z obu lęgów zostały zaobrączkowane (Muszyńska 2022a,b, T. Janiszewski i in.). Polska populacja szablodzioba waha się w zakresie od 0 do 8 p. Liczniej gatunek ten gniazdował w kraju tylko w roku 2012, gdy odnotowano 8 p. na 5 stanowiskach (Stawarczyk et al. 2017, Muszyńska 2022b).

Tabela 12. Liczba par, zajętych powierzchni 10×10 km i rozpowszechnienie (%) szablodzioba *Recurvirostra avosetta* w regionach ornitologicznych Polski w roku 2020

Table 12. Number of pairs (1), occupied 10×10 km squares (2) and occupancy (3) of the Pied Avocet in ornithological regions in Poland in 2020. (4) – total

	DS	GS	KU	LD	LL	MP	MZ	PK	PL	PM	SW	WM	WP	ZL	Razem (4)
N par (1)				5									2		7
N pow (2)				2									1		3
Rozp (%) (3)				1,4									0,3		0,1

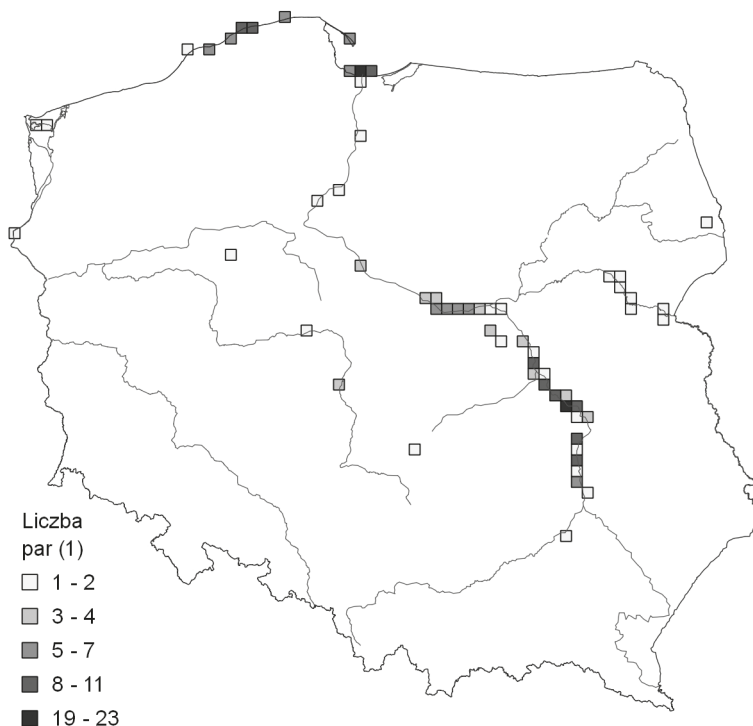
Sieweczka obrożna *Charadrius hiaticula*

Liczebność: 217 p.

Trend: spadek (1980–2020)

Kompletność: bardzo wysoka

Gniazdowała w 9 regionach, w łącznej liczbie 217 par (MPP 2020) (rys. 3, tab. 13). Największa część populacji (niemal 60%) zasiedlała wyspy w korycie Wisły, gdzie gniazdowało 128 p. Najwięcej stanowisk znajdowało się na odcinku od ujścia Sanu do Płocka (Ł. Bednarz, D. Bukaciński, A. Różycki i in.). Na wybrzeżu stwierdzono 65 p., z czego aż 40 p. na plażach Wyspy Sobieszewskiej i na łąkach w rejonie ujścia Wisły k. Świbna i Mikoszewa (S. Bzoma, M. Dziermańska) oraz 19 p. w Słowińskim PN (M. Jędro, M. Goc, G. Jędro). Na wyspach w Dolinie Dolnego Bugu stwierdzono 5–8 p. (Ł. Wardecki,



Rys. 3. Rozmieszczenie stanowisk lęgowych sieweczki obrożnej *Charadrius hiaticula* w Polsce w roku 2020

Fig. 3. Distribution of the Common Ringed Plover breeding sites in Poland in 2020. (1) – number of breeding pairs in each 10 × 10 km square

Tabela 13. Liczba par, zajętych powierzchni 10 × 10 km i rozpowszechnienie (%) sieweczki obrożnej *Charadrius hiaticula* w regionach ornitologicznych Polski w roku 2020

Table 13. Number of pairs (1), occupied 10 × 10 km squares (2) and occupancy (3) of the Common Ringed Plover in ornithological regions in Poland in 2020. (4) – total

	DS	GS	KU	LD	LL	MP	MZ	PK	PL	PM	SW	WM	WP	ZL	Razem (4)
N par (1)			4	5	17		101	1	4	75	8		2		217
N pow (2)			2	2	4		23	1	3	21	2		2		60
Rozp (%) (3)			1,6	1,4	1,8		6,9	0,5	1,4	4,1	1,4		0,6		2,0

A. Dmoch). Pozostałe stanowiska znajdowały się zwykle na antropogenicznych zbiornikach w środkowej Polsce: 4 p. na zb. Jeziorsko (T. Janiszewski i in.), 2 p. na składowisku popiołów pod Koninem (S. Mielczarek), 1 p. na zb. Cieszanowice na Ziemi Łódzkiej (M. Wężyk, M. Kociniak, M. Wieczorek) oraz 1 p. w kopalni torfu Rabinówka na Podlasiu (G. Grygoruk). Niewielka populacja skupiająca do 5 p. gniazdowała w krajobrazie rolniczym (wschodzące uprawy kukurydzy) pod Pruszkowem na Mazowszu (P. Żarkiewicz, M. Grzeniewski, A. Dmoch). W roku 2020 nie potwierdzono gniazdowania tego gatunku na niegdyś zasiedlanych naturalnych stanowiskach w dolinach Narwi i Warty. Populacja lęgowa sieweczki obrożnej w ciągu ostatnich 40 lat zmniejszyła się o ok. 50% (Wilk et al. 2020). Łączna liczebność populacji w roku 2020 wpisuje się w aktualną ocenę dla kraju, którą dla lat 2013–2018 określono na 180–220 p. lęgowych (Chodkiewicz et al. 2019).



Fot. 2. Sieweczka obrożna *Charadrius hiaticula*, dolina Wisły, Kłudzie, Mazowsze, 26.05.2020 (fot. Ł. Bednarz) – Common Ringed Plover, Vistula valley, Kłudzie, May 2020

Kulik wielki *Numenius arquata*

Liczebność: 176 p.

Trend: spadek (2000–2020)

Kompletność: wysoka

Zebrano informacje o występowaniu 176 par na 44 powierzchniach (tab. 14). Dla części obszarów (ostoje leżące na Kurpiach oraz w dolinie Biebrzy) zebrane dane prawdopodobnie są niepełne. Rzeczywistą liczebność populacji krajowej w roku 2020 można ocenić na 190–200 p. Główne lęgowiska znajdowały się w OSO Natura 2000 na Mazowszu, Podlasiu, w Wielkopolsce i na Ziemi Łódzkiej (tab. 14). Na Mazowszu najliczniej gniazdował w OSO: Dolina Omulwi i Płodownicy (23 p.), Dolina Dolnego Bugu (14 p.) oraz Dolina Wkry i Mławki (12 p.). Jego lęgi w tym regionie stwierdzono także w OSO Bagno Pulwy (5 p.) oraz OSO Dolina Liwca (4 p.). Ponadto 12 p. gniazdowało w IBA

Ostoja Kurpiowska (dane TP Bocian) oraz 1 p. koło Strachomina w dolinie Świdra (D. Sikora). Na Podlasiu głównym lęgowiskiem jest OSO Ostoja Biebrzańska wraz doliną Brzozówki, gdzie stwierdzono 36 p. oraz Bagno Wizna – 7 p. Łęgi 2 p. stwierdzono także w dolinie Nurca (dane TP Bocian). W Wielkopolsce gniazdował w 3 OSO: Nadnoteckie Łęgi (13 p.), Wielki Łęg Obrzański (10 p.) i Dolina Środkowej Warty (3 p.) (dane TP Bocian, PTOPI Salamandra). Na Lubelszczyźnie najliczniej występował w kompleksie łąk „Żelazna” w dolinie Kanału Wieprz-Krzna – 8 p. Ponadto po 2 p. gniazdowały na Krowim Bagnie i w Poleskim PN, po 1 p. w OSO Dolina Tyśmienicy k. Tchórzewa (M. Karwowski), dolinie Tyśmienicy k. Starego Uścimowa (M. Cmoch), w dolinie Wieprza k. m. Jeziorzany (W. Chróścik) oraz pod Holeszowem (J. Krogulec). Na Ziemi Łódzkiej gniazdował w dolinie Neru, gdzie policzono 15 p. (dane TP Bocian). Poza wymienionymi regionami stwierdzono 2 p. k. Konieczpola w Małopolsce (N. Bilewska, P. Hermański) oraz 1 p. k. Kopic nad Zalewem Szczecińskim (S. Guentzel). W porównaniu z rokiem 2019 populacja kulika wielkiego prawdopodobnie nieznacznie wzrosła, na co wskazują także wyniki monitoringu na transektach (MPP 2020).

Tabela 14. Liczba par, zajętych powierzchni 10×10 km i rozpowszechnienie (%) kulika wielkiego *Numenius arquata* w regionach ornitologicznych Polski w roku 2020

Table 14. Number of pairs (1), occupied 10×10 km squares (2) and occupancy (3) of the Eurasian Curlew in ornithological regions in Poland in 2020. (4) – total

	DS	GS	KU	LD	LL	MP	MZ	PK	PL	PM	SW	WM	WP	ZL	Razem (4)
N par (1)				15	16	2	71		45	1			26		176
N pow (2)				4	8	1	21			1			10		44
Rozp (%) (3)				2,7	3,5	0,5	5,2		3,9	0,2			2,8		1,3

Dubelt *Gallinago media*

Liczebność: 450 ♂♂

Trend: spadek (2010–2020)

Kompletność: bardzo wysoka

Odnotowano 450 tokujących dubeltów na 58 powierzchniach (MPP 2020) (tab. 15). Wykazana liczebność jest o 23% wyższa od tej uzyskanej w poprzednim sezonie (Ławicki et al. 2021) i aż o 42% wyższa od stanu z roku 2018 (Sikora et al. 2020). Obserwowany co najmniej od roku 2010 wyraźny trend spadkowy gatunku w ostatnich latach wyhamował. Najważniejszym obszarem występowania dubelta w Polsce było Podlasie, gdzie odnotowano 36 tokowisk. Połowa wszystkich tokowisk w tym regionie znajdowała się w Ostoi Biebrzańskiej, gdzie odnotowano 159 tokujących samców, czyli aż o 28% więcej niż w poprzednim sezonie (Ławicki et al. 2021). Na innych stanowiskach podlaskich stwierdzono 123 samce, czyli tyle samo co w roku 2019 (Ławicki et al. 2021). Najbardziej wyraźny wzrost liczebności odnotowano na Lubelszczyźnie, gdzie na 28 tokowiskach stwierdzono 144 samce (wobec 16 tokowisk ze 100 samcami w roku

Tabela 15. Liczba tokujących samców, zajętych powierzchni 10×10 km i rozpowszechnienie dubelta *Gallinago media* w regionach ornitologicznych Polski w roku 2020

Table 15. Number of lekking males (1), occupied 10×10 km squares (2) and occupancy (3) of the Great Snipe in ornithological regions in Poland in 2020. (4) – total

	DS	GS	KU	LD	LL	MP	MZ	PK	PL	PM	SW	WM	WP	ZL	Razem (4)
N samców (1)					144		20		282			2	2		450
N pow (2)					23		7		26			1	1		58
Rozp (%) (3)					10,1		1,7		12,6			0,4	0,3		1,8

2019) (Ławicki et al. 2021). Poza Podlasiem i Lubelszczyzną stwierdzono 24 samce. Na uwagę zasługuje nowe tokowisko odnalezione w regionie warmińsko-mazurskim, gdzie przy granicy z obwodem kaliningradzkim obserwowano 2–3 samce (S. Czernek), a także liczne tokowisko w OSO Dolina Omulwi i Płdownicy na Mazowszu skupiające 10 samców (K. Antczak).

Mewa czarnogłowa *Ichthyaetus melanocephalus*

Liczebność: 53 p. Trend: spadek (2007–2020) Kompletność: bardzo wysoka

Lęgi 53 p. odnotowano w 7 regionach na 15 stanowiskach (MPP 2020) (tab. 16), w tym najliczniej na Dolnym Śląsku – 17 p., Mazowszu – 9 p., Warmii i Mazurach oraz Kujawach – po 8 p. W pozostałych 3 regionach stwierdzono od 1 do 7 p. Największa liczba par gniazdowała na Zb. Mietkowskim – 11 p. (M. Gajewski). Po 6 p. stwierdzono na Zb. Nyskim (J. Szymczak), na stawie w Pieckach na Mazurach (S. Menderski) i w żwirowni Skoki na Kujawach (P. Zieliński i in.), a 5 p. na zb. Przykona w Wielkopolsce (T. Iciek). Na pozostałych 10 stanowiskach grupowało się po 1–3 p. W roku 2020 populacja krajowa mewy czarnogłowej osiągnęła stosunkowo niską liczebność (Zieliński et al. 2022). W roku tym potwierdzono obecność 10 p. mieszanych, w tym 8 p. tworzyły mieszańce międzygatunkowe mewy czarnogłowej ze śmieszką *Chroicocephalus ridibundus*, 1 p. – mieszańiec z mewą czarnogłową i 1 p. – mewa czarnogłowa z mewą siwą *Larus canus*.

Tabela 16. Liczba par, zajętych powierzchni 10 × 10 km i rozpowszechnienie (%) mewy czarnogłowej *Ichthyaetus melanocephalus* w regionach ornitologicznych Polski w roku 2020

Table 16. Number of pairs (1), occupied 10 × 10 km squares (2) and occupancy (3) of the Mediterranean Gull in ornithological regions in Poland in 2020. (4) – total

	DS	GS	KU	LD	LL	MP	MZ	PK	PL	PM	SW	WM	WP	ZL	Razem (4)
N par (1)	17	1	8			3	9					8	7		53
N pow (2)	2	1	2			1	4					2	3		15
Rozp (%) (3)	0,7	0,7	1,6			0,5	1,0					0,8	0,8		0,5

Rybitwa czubata *Thalasseus sandvicensis*

Liczebność: 2 p. Trend: fluktuacje (2006–2020) Kompletność: bardzo wysoka

Odnotowano gniazdowanie dwóch par przy ujściu Wisły (MPP 2020). Oba lęgi zostały zniszczone na etapie inkubacji (S. Bzoma). Już od trzech lat lęgi rybitw czubatych na tym stanowisku kończyły się niepowodzeniem (Sikora et al. 2020, Ławicki et al. 2021).

Ślepowron *Nycticorax nycticorax*

Liczebność: 1 274 p. Trend: wzrost (2009–2020) Kompletność: bardzo wysoka

Gniazdowanie odnotowano w 13 koloniach w 4 regionach (MPP 2020) (tab. 17). Stwierdzono łącznie 1 274 pary, z których większość (90%) zasiedlała kompleksy stawów rybnych i żwirowni w mezoregionie Doliny Górnej Wisły. Tamtejsza populacja, licząca łącznie 1 141 p., skoncentrowana była w 4 OSO: Dolina Dolnej Skawy (403 p.), Stawy w Brzeszczach (254 p.), Dolina Górnej Wisły (249 p.) oraz Dolina Dolnej Soły (235 p.). W porównaniu z poprzednim sezonem liczba stanowisk w Dolinie Górnej Wisły była taka sama, natomiast liczba par lęgowych nieznacznie spadła (o ok. 4%) (Ławicki et al. 2021). Poza tym obszarem ślepowron zasiedlał jeszcze dwa stanowiska: stawy w Gór-

kach w OSO Dolina Nidy (74 p.) oraz zb. Mokrzec na Podkarpaciu (59 p.). Łączna liczebność ślepowrona w roku 2020 była nieznacznie niższa od odnotowanej w roku 2019, kiedy w kraju gniazdowało rekordowe 1 293 p. (Ławicki et al. 2021). W latach 2009–2020 populacja ślepowrona zwiększyła się o ok. 50% (MPP 2020).

Tabela 17. Liczba par, zajętych powierzchni 10 × 10 km i rozpowszechnienie (%) ślepowrona *Nycticorax nycticorax* w regionach ornitologicznych Polski w roku 2020

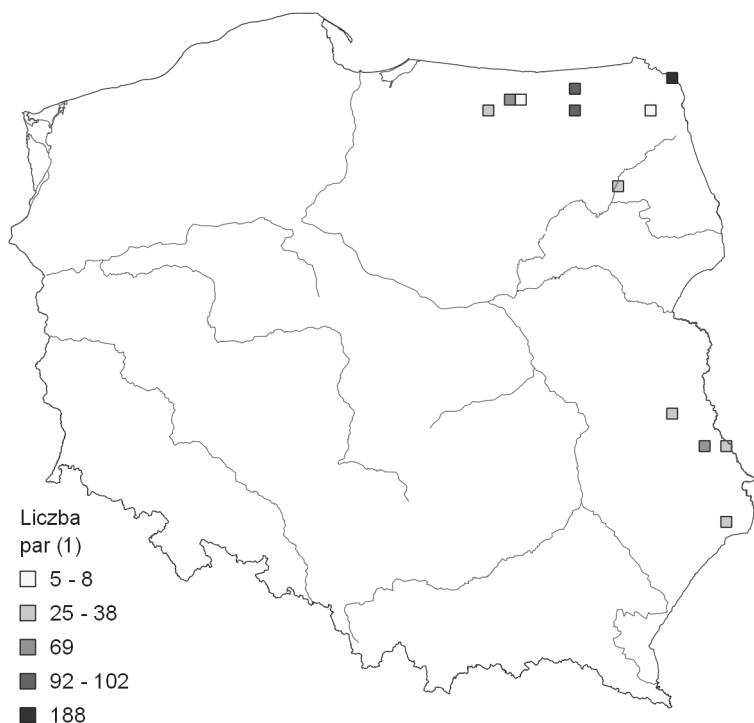
Table 17. Number of pairs (1), occupied 10 × 10 km squares (2) and occupancy (3) of the Black-crowned Night Heron in ornithological regions in Poland in 2020. (4) – total

	DS	GS	KU	LD	LL	MP	MZ	PK	PL	PM	SW	WM	WP	ZL	Razem (4)
N par (1)		503				638		59			74				1274
N pow (2)		3				5		1			1				10
Rozp (%) (3)		2,2				2,3		0,5			0,7				0,3

Czapla biała *Ardea alba*

Liczebność: 689 p.	Trend: wzrost (2011–2020)	Kompletność: bardzo wysoka
--------------------	---------------------------	----------------------------

Gniazdowanie stwierdzono na 12 stanowiskach w 3 regionach (MPP 2020) (rys. 4, tab. 18). Wykazano łącznie 689 par, co jest wynikiem wyższym o 28% od wartości z roku



Rys. 4. Rozmieszczenie stanowisk lęgowych czapli białej *Ardea alba* w Polsce w roku 2020

Fig. 4. Distribution of the Great Egret breeding sites in Poland in 2020. (1) – number of breeding pairs in each 10 × 10 km square

2018, kiedy również skontrolowano wszystkie znane stanowiska lęgowe w kraju (Zboryt 2019). W roku 2020 czaple białe gniazdowały wyłącznie w Polsce północno-wschodniej (530 p.) oraz na Lubelszczyźnie (159 p.). Najliczniejsze czaplińce znajdowały się nad jez. Gaładuś na Suwalszczyźnie – 188 gniazd (A. Zboryt) oraz nad jez. Kruklin na Mazurach – 102 gniazda (A. Zboryt). Najwięcej gniazd na Lubelszczyźnie – 69, stwierdzono na zalewisku koło m. Bogdanka (T. Bajdak). Wszystkie stanowiska znajdowały się w roślinności szuwarowej lub w łożyskach nad jeziorami i rozlewiskami rzek. Na 7 stanowiskach stwierdzono wspólne lęgi z czaplą siwą *A. cinerea*, a w pozostałych 5 koloniach czaple białe gniazdowały samotnie. Pierwsze współczesne lęgi czapli białej stwierdzono w roku 1997 nad Biebrzą (Pugacewicz & Kowalski 1997), a od roku 2002 gatunek gnieździ się w Polsce corocznie (Stawarczyk et al. 2017), z wyraźnym wzrostowym trendem liczebności.

Tabela 18. Liczba par, zajętych powierzchni 10×10 km i rozpowszechnienie (%) czapli białej *Ardea alba* w regionach ornitologicznych Polski w roku 2020

Table 18. Number of pairs (1), occupied 10×10 km squares (2) and occupancy (3) of the Great Egret in ornithological regions in Poland in 2020. (4) – total

	DS	GS	KU	LD	LL	MP	MZ	PK	PL	PM	SW	WM	WP	ZL	Razem (4)
N par (1)					159				226			304			689
N pow (2)					4				3			5			12
Rozp (%) (3)					1,8				1,4			2,0			0,4

Rybołów *Pandion haliaetus*

Liczebność: 25 p.

Trend: spadek (2000–2020)

Kompletność: bardzo wysoka

Gniazdowanie potwierdzono w 4 regionach na 25 stanowiskach (MPP 2020) (tab. 19). Zasiadał bardzo mały areal na pojezierzach w północnej i zachodniej Polsce. Na 19 stanowiskach lęgi zakończyły się sukcesem, a łączna liczba odchowanych młodych wyniosła 43. Przeważały lęgi z dwoma pisklętami (12 z 19 lęgów). W 6 przypadkach gniazdo opuściły 3 młode i tylko w jednym – jedno. Sukces lęgowy wyniósł 76% i był to jeden z najwyższych wyników w ostatnim dwudziestoleciu (MPP 2020). W całym okresie badań, tj. od roku 2000, liczebność gatunku wykazywała tendencję spadkową, chociaż w ostatnich kilku latach (od roku 2016) fluktuuje ona w zakresie 24–27 p. Liczba młodych w przeliczeniu na gniazdo z sukcesem w roku 2020 osiągnęła poziom 2,26 (średnia z lat 2000–2020 wyniosła 2,12), a w przeliczeniu na parę lęgową 1,72 (średnia 1,42).

Tabela 19. Liczba par, zajętych powierzchni 10×10 km i rozpowszechnienie (%) rybołowa *Pandion haliaetus* w regionach ornitologicznych Polski w roku 2020

Table 19. Number of pairs (1), occupied 10×10 km squares (2) and occupancy (3) of the Western Osprey in ornithological regions in Poland in 2020. (4) – total

	DS	GS	KU	LD	LL	MP	MZ	PK	PL	PM	SW	WM	WP	ZL	Razem (4)
N par (1)										3		10	6	6	25
N pow (2)										3		8	5	5	21
Rozp (%) (3)										0,6		3,2	1,4	4,0	0,6

Gadożer *Circaetus gallicus*

Liczebność: 4 p.

Trend: spadek (2000–2020)

Kompletność: wysoka

Stwierdzono 4 stanowiska na Lubelszczyźnie (tab. 20). W czerwcu para przystąpiła do lęgu w Puszczy Solskiej, ale gniazdo zostało opuszczone na etapie wysiadywania (P. Stachyra, S. Aftyka). W kwietniu-czerwcu odnotowano 2 pary we wschodniej części Lasów Sobiborskich (M. Rycak i in., B. Zyza). Na Krowim Bagnie gadożery widywano regularnie w okresie od kwietnia do sierpnia, w tym jednocześnie trzy dorosłe ptaki 18.06 (S. Aftyka). Stanowiska stwierdzono na tych samych obszarach co rok wcześniej (Ławicki et al. 2021). W latach 2018–2020 krajowa populacja gadożera liczyła jedynie 1–4 par, a wszystkie stanowiska znajdowały się na Lubelszczyźnie (Sikora et al. 2020, Ławicki et al. 2021).

Tabela 20. Liczba par, zajętych powierzchni 10×10 km i rozpowszechnienie (%) gadożera *Circaetus gallicus* w regionach ornitologicznych Polski w roku 2020

Table 20. Number of pairs (1), occupied 10×10 km squares (2) and occupancy (3) of the Short-toed Snake Eagle in ornithological regions in Poland in 2020. (4) – total

	DS	GS	KU	LD	LL	MP	MZ	PK	PL	PM	SW	WM	WP	ZL	Razem (4)
N par (1)					4										4
N pow (2)					4										4
Rozp (%) (3)					1,8										0,1

Fot. 3. Gadożer *Circaetus gallicus*, Lasy Sobiborskie, Lubelszczyzna, 18.04.2020 (fot. M. Rycak) – Short-toed Snake Eagle, Sobibór Forest, April 2020



Orlik grubodzioby *Clanga clanga*

Liczebność: 15 p.

Trend: stabilny (2000–2020)

Kompletność: bardzo wysoka

Odnotowano 15 p. w 3 regionach (MPP 2020) (tab. 21). Najliczniej orlik grubodzioby gniazdował w Ostoje Biebrzańskiej, gdzie stwierdzono 10 p. (G. Maciorowski). Na Lubelszczyźnie wykryto 3 p. (S. Aftyka, J. Wójciak). Ponadto po 1 p. obserwowano w Puszczy Białowieskiej (P. Mirski) oraz w Puszczy Kampinoskiej (A. Olszewski, J. Matusiak). Ta ostatnia najprawdopodobniej nie przystąpiła do lęgów, gdyż w sąsiedztwie nowe gniazdo wybudowała para bielików. W roku 2020 stwierdzono jedynie 5 p. złożonych z ptaków wykazujących cechy fenotypowe orlików grubodziobych. W roku 2020 sukces gniazdowy podlaskiej populacji orlików grubodziobych wynosił 80% i był najwyższym odnotowanym w XXI w. (MPP 2020).

Tabela 21. Liczba par, zajętych powierzchni 10×10 km i rozpowszechnienie (%) orlika grubodziobego *Clanga clanga* w regionach ornitologicznych Polski w roku 2020. W zestawieniu uwzględniono pary mieszane *C. pomarina* \times *C. clanga* oraz pary z osobnikami wykazującymi cechy mieszańców tych dwóch gatunków.

Table 21. Number of pairs (1), occupied 10×10 km squares (2) and occupancy (3) of the Greater Spotted Eagle in ornithological regions in Poland in 2020. Table includes mixed pairs (*C. pomarina* \times *C. clanga*) or pairs with individuals that are hybrids of these two species. (4) – total

	DS	GS	KU	LD	LL	MP	MZ	PK	PL	PM	SW	WM	WP	ZL	Razem (4)
N par (1)					3		1		11						15
N pow (2)					3		1		9						13
Rozp (%) (3)					1,3		0,2		4,3						0,4

Orzeł przedni *Aquila chrysaetos*

Liczebność: 34 p.

Trend: stabilny (2000–2020)

Kompletność: bardzo wysoka

Stwierdzono 34 pary lęgowe w 4 regionach na 31 powierzchniach (MPP 2020) (tab. 22). Poza Karpatami 2 p. zasiedlały Pomorze w okolicach Słowińskiego PN. W Karpatach najliczniej występował w ich wschodniej części. W 21 rewirach wykryto zasiedlone gniazda, w tym w 12 lęgi zakończyły się sukcesem (12 odchowanych młodych). Sukces lęgowy w roku 2020 wyniósł 57%. Liczba młodych w przeliczeniu na gniazdo z sukcesem osiągnęła poziom 1,0, a na parę lęgową wartość 0,57. Produktywność populacji w całym analizowanym okresie (lata 2000–2020) fluktuowała. Liczebność i areal gatunku w XXI w. wykazywały powolny wzrost. W okresie ostatnich kilku lat liczebność ustabilizowała się na poziomie 28–34 p. (MPP 2020).

Tabela 22. Liczba par, zajętych powierzchni 10×10 km i rozpowszechnienie (%) orła przedniego *Aquila chrysaetos* w regionach ornitologicznych Polski w roku 2020

Table 22. Number of pairs (1), occupied 10×10 km squares (2) and occupancy (3) of the Golden Eagle in ornithological regions in Poland in 2020. (4) – total

	DS	GS	KU	LD	LL	MP	MZ	PK	PL	PM	SW	WM	WP	ZL	Razem (4)
N par (1)		2				9		21		2					34
N pow (2)		2				8		19		2					31
Rozp (%) (3)		1,5				3,7		9,6		0,4					0,9

Uszatka błotna *Asio flammeus*

Liczebność: 1 p.

Trend: fluktuacje (2000–2020)

Kompletność: niska

Jedyny lęg stwierdzono niespodziewanie na południu kraju – na Płaskowyżu Głubczycykim na Górnym Śląsku. Na początku czerwca w okolicy m. Langowo zaobserwowano niepokojącą się parę przy gnieździe z 6 jajami w uprawie lucerny (R. Zbroński i in.). Lęg został częściowo zniszczony przez pracujący ciągnik i porzucony przez ptaki. W lipcu para powtórzyła lęg niedaleko pierwszej lokalizacji, w uprawie pszenicy. Znalaziono gniazdo z 4 pisklętami (fot. 4), z których 2 dożyły lotności i opuściły gniazdo (M. Nagler, P. Zabłocki, S. Rubacha i in.). Uszatka błotna gniazduje w Polsce nieregularnie, przede wszystkim w północnej i wschodniej części kraju (Stawarczyk et al. 2017, Wilk et al. 2020), a na Śląsku ostatnie lęgi miały miejsce w roku 1933 (Dyrz et al. 1991). Lęg stwierdzony w pobliżu granicy z Czechami niemal na pewno wiąże się z inwazjami lęgowych uszatek błotnych odnotowanymi w Czechach w latach 2019 i 2020. Stwierdzono tam do 102 terytoriów (Škorpíková et al. 2020), a zagęszczenie osiągało miejscami 14 p/3 km² (Studecký 2021).



Fot. 4. Uszatka błotna *Asio flammeus*, Langowo, Górny Śląsk, 10.08.2020 (fot. S. Rubacha) – Short-eared Owl, Langowo, Upper Silesia, August 2020

Puszczyk mszarny *Strix nebulosa*

Liczebność: 16 p.

Trend: wzrost (2010–2020)

Kompletność: wysoka

Wykazano 16 par, z których 10 przystąpiło do lęgów (MPP 2020) (tab. 23). Jest to jak dotąd najwyższa stwierdzona liczebność w kraju. Najważniejszą ostoją pozostały Lasy Sobiborskie, gdzie stwierdzono aż 12 terytoriów, w tym 9 par z pewnym gniazdowaniem (B. Woźniak i in.). Kolejne dwie pary wykazano w kompleksie Lasów Włodawskich, przylegającym do Lasów Sobiborskich (S. Aftyka i in.). Poza tym obszarem stwierdzono terytorialnego samca w okolicach Białej Podlaskiej (S. Aftyka), a także na Bagnach Biebrzańskich, gdzie w marcu i kwietniu obserwowano jednego osobnika w starym gnieździe orlika grubodziobego (G. Maciorowski). Liczebność krajowej populacji puszczyka mszarnego monitorowana od roku 2010 wykazuje trend wzrostowy, pomimo silnych fluktuacji uzależnionych od dostępności pokarmu w poszczególnych sezonach.

Tabela 23. Liczba par, zajętych powierzchni 10×10 km i rozpowszechnienie (%) puszczyka mszarnego *Strix nebulosa* w regionach ornitologicznych Polski w roku 2020

Table 23. Number of pairs (1), occupied 10×10 km squares (2) and occupancy (3) of the Great Grey Owl in ornithological regions in Poland in 2020. (4) – total

	DS	GS	KU	LD	LL	MP	MZ	PK	PL	PM	SW	WM	WP	ZL	Razem (4)
N par (1)					15				1						16
N pow (2)					6				1						7
Rozp (%) (3)					2,6				0,5						0,2



Fot. 5. Puszczyk mszarny *Strix nebulosa*, Lasy Sobiborskie, Lubelszczyzna, 18.04.2020 (fot. M. Rycak) – Great Grey Owl, Sobibór Forest, April 2020

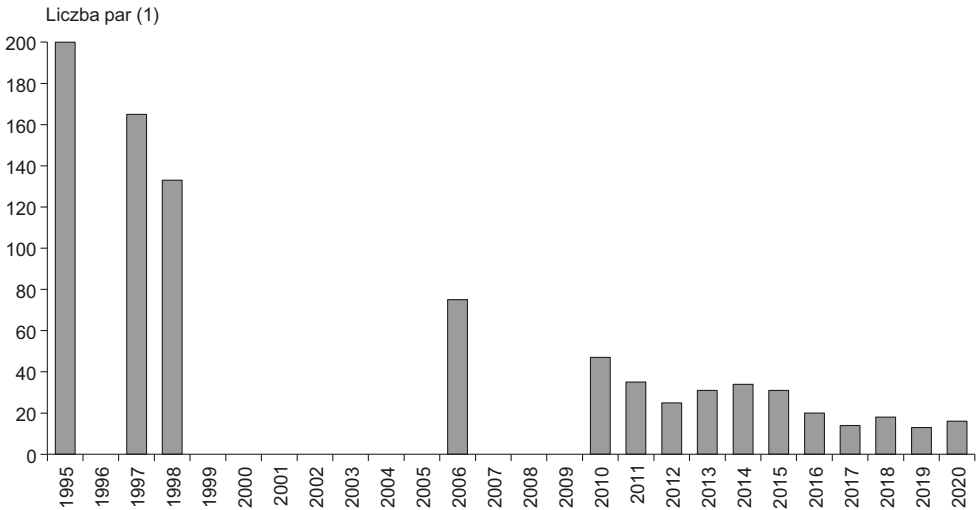
Kraska *Coracias garrulus*

Liczebność: 16 p.

Trend: spadek (2006–2020)

Kompletność: bardzo wysoka

Stwierdzono 16 par lęgowych (MPP 2020) (tab. 24). Dodatkowo na 8 stanowiskach obserwowano pojedyncze ptaki nieprzystępujące do lęgów. Głównym obszarem występowania pozostaje Równina Kurpiowska na Mazowszu, gdzie gniazdowało 15 p. Liczebność w stosunku do roku 2019 wzrosła tam o 3 p. (Ławicki et al. 2021), co jest pierwszym od roku 2015 przypadkiem wzrostu liczebności tej populacji (MPP 2020). Jedną parę lęgową stwierdzono także na Podkarpaciu (od 4 lat istnieje tam tylko jedno stanowisko lęgowe). W okresie monitoringowym 2010–2020 stwierdzono zanik stanowisk przede wszystkim w miejscach, w których rok wcześniej obserwowano pojedyncze ptaki lub pary bez lęgu (MPP 2020). Przez ostatnie 25 lat populacja lęgowa kraski zmniejszyła się kilkunastokrotnie (rys. 5).



Rys. 5. Zmiany liczebności populacji lęgowej kraski *Coracias garrulus* w Polsce w latach 1995–2020 (Górski & Szymkiewicz 2001, Tomiałojć & Stawarczyk 2003, Sikora et al. 2007, MPP 2020). Brak słupków oznacza brak danych dla danego roku

Fig. 5. Changes in number of breeding pairs of the European Roller in Poland in 1995–2020. No bars means no data for the particular year. (1) – number of pairs

Tabela 24. Liczba par, zajętych powierzchni 10×10 km i rozpowszechnienie (%) kraski *Coracias garrulus* w regionach ornitologicznych Polski w roku 2020

Table 24. Number of pairs (1), occupied 10×10 km squares (2) and occupancy (3) of the European Roller in ornithological regions in Poland in 2020. (4) – total

	DS	GS	KU	LD	LL	MP	MZ	PK	PL	PM	SW	WM	WP	ZL	Razem (4)
N par (1)							15	1							16
N pow (2)							6	1							7
Rozp (%) (3)							1,5	0,5							0,2



Fot. 6. Kraska *Coracias garrulus*, Kurpie, Mazowsze, 10.06.2020 (fot. M. Rycak) – *European Roller, Kurpie, June 2020*

Sokół wędrowny *Falco peregrinus*

Liczebność: 56 p.

Trend: wzrost (2000–2020)

Kompletność: wysoka

Odnotowano 56 par w 10 regionach, z główną populacją na Pomorzu, gdzie występowało 20 p. (tab. 25). Sokoły wędrowne gniazdowały głównie w miastach (24 p.) i lasach (17 p.) (Stowarzyszenie Na Rzecz Dzikich Zwierząt Sokół 2020, S. Sielicki i in.). W górach stwierdzono 14 par, w tym 4 p. w Karkonoszach (K. Dobrowolska-Martini), po 3 p. w Pieninach, Tatrach i Górach Stołowych (B. Kozik/Pieniński PN, J. Rabiasz/Tatrzański PN, R. Mikusek, P. Wasiak) oraz po raz pierwszy 1 p. w Rudawach Janowickich (P. Wasiak). Ponadto 1 p. występowała w kamieniołomie w województwie opolskim (Czubat et al. 2021). Krajowa populacja w roku 2020 osiągnęła najwyższą liczebność od ok. 70 lat (Tomiałojć 1990, Wieland 2012).

Tabela 25. Liczba par sokoła wędrownego *Falco peregrinus* w regionach ornitologicznych Polski w roku 2020

Table 25. Number of pairs (1) of the Peregrine Falcon in ornithological regions in Poland in 2020. (2) – total

	DS	GS	KU	LD	LL	MP	MZ	PK	PL	PM	SW	WM	WP	ZL	Razem (4)
N par (1)	12		2	1	2	6	6			20		2	3	2	56

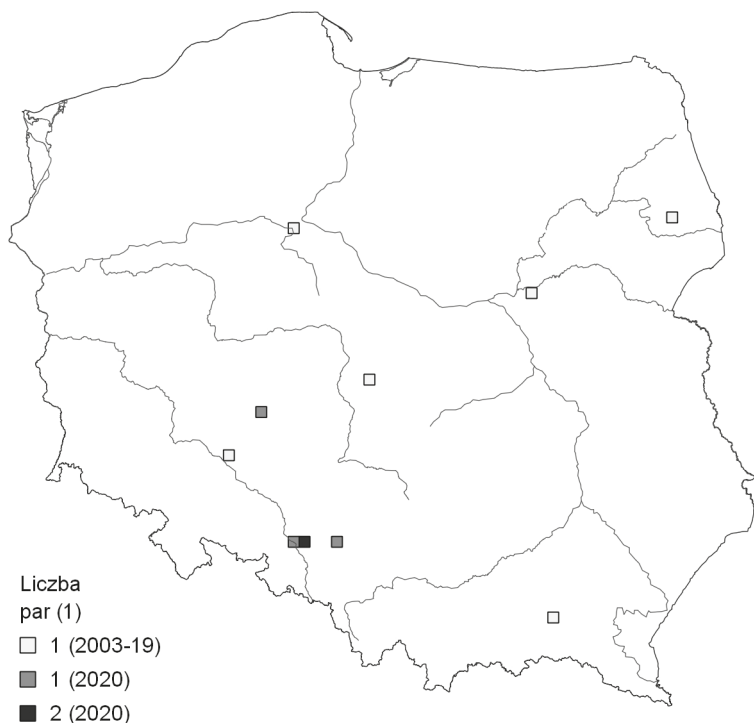
„Srokosz stepowy” *Lanius excubitor homeyeri*

Liczebność: 5 p.

Trend: nieznan (2013–2020)

Kompletność: niska

Stwierdzono 5 par w 2 regionach (tab. 26). Większość przypadków lęgów wykazano na Górnym Śląsku, gdzie przy okazji badań populacji lęgowej srokosza wykryto na wschodniej Opolszczyźnie 3 osobniki sparowane z ptakami podgatunku nominatywnego w miejscowościach Lichynia, Zalesie Śląskie i Obrowiec. Pary te obserwowano podczas budowy gniazd lub karmienia piskląt (P. Zabłocki). Ponadto, na przełomie czerwca i lipca w m. Chwoszcz k. Gliwic obserwowano rodzinę srokoszy, u której zarówno obydwaj ptaki dorosłe, jak i 2 młode wykazywały cechy podgatunku *L. e. homeyeri*. Był to pierwszy



Rys. 6. Rozmieszczenie stanowisk lęgowych „srokosza stepowego” *Lanius excubitor homeyeri* w Polsce w latach 2003–2020

Fig. 6. Distribution of the Homeyer's Great Grey Shrike breeding sites in Poland in 2003–2020. (1) – number of breeding pairs in each 10 × 10 km square

Tabela 26. Liczba par, zajętych powierzchni 10 × 10 km i rozpowszechnienie (%) srokosza stepowego *Lanius excubitor homeyeri* w regionach ornitologicznych Polski w roku 2020

Table 26. Number of pairs (1), occupied 10 × 10 km squares (2) and occupancy (3) of the Homeyer's Great Grey Shrike in ornithological regions in Poland in 2020. (4) – total

	DS	GS	KU	LD	LL	MP	MZ	PK	PL	PM	SW	WM	WP	ZL	Razem (4)
N par (1)		4											1		5
N pow (2)		3											1		4
Rozp (%) (3)		2,2											0,3		0,1

w kraju udokumentowany przypadek lęgu fenotypowo czystej pary „srokosza stepowego” (Beuch 2021). Poza Górnym Śląskiem stwierdzono lęg w Granowcu w Wielkopolsce, gdzie widziano ptaka dorosłego z 2 młodymi (P. Szymański). Pierwszy przypadek gniazdowania tego podgatunku stwierdzono w roku 2003 pod Wrocławiem (Komisja Faunistyczna 2004, P. Zabłocki – inf. niepubl.). Następne 10 lęgów odnotowano w latach 2013–2020, głównie w Polsce południowej i centralnej (ryc. 6) (Stawarczyk et al. 2017, Komisja Faunistyczna 2017, 2019, Beuch 2021, Ławicki et al. 2021).

Czarnowron *Corvus corone*

Liczebność: 7 p.	Trend: nieznan (2000–2020)	Kompletność: średnia
------------------	----------------------------	----------------------

Gatunek ten stwierdzono na 7 stanowiskach, w tym 4 na Pomorzu, 2 na Dolnym Śląsku oraz 1 na Górnym Śląsku (tab. 27). Tylko na 3 stanowiskach stwierdzono pewne lęgi. Poza jednym stanowiskiem na Dolnym Śląsku wszystkie dotyczyły par mieszanych z wroną siwą *C. cornix*. Na Pomorzu gniazdował w zachodniej części regionu. W Dziwnowie, w okresie 31.03–13.05, widziano parę, w której samica była czarnowronem (obserwowano kopulację). Podczas ostatniej obserwacji para ta karmiła pisklęta na gnieździe (R. Mendakiewicz). W Międzyzdrojach, 03.03 obserwowano parę mieszaną przy gnieździe (G. Kiljan). Mieszane pary obserwowano także 17.04 w Czarnocinie (S. Guentzel) oraz 03.05 w Kobylance (M. Sowa). Na Dolnym Śląsku 07.04 obserwowano mieszaną parę w Świdnicy (J. Słowikowski) oraz 28.05 parę czarnowronów w Polkowicach (M. Niedzielski). Na Górnym Śląsku kolejny już sezon obserwowano lęg mieszany na terenie ogrodu zoologicznego w Chorzowie, gdzie 15.05 widziano ptaki z pokarmem dla piskląt (K. Koźlik). Dodatkowo w Zabrze-Mikulczycach obserwowano parę, w której samiec był mieszańcem czarnowrona z wroną siwą, a samica wroną siwą. Para ta odchowiała trzy młode – 28.05 obserwowano dorosłe ptaki z podlotami o cechach pośrednich (S. Beuch). Tego stanowiska nie uwzględniono w podsumowaniu.

Tabela 27. Liczba par, zajętych powierzchni 10 × 10 km i rozpowszechnienie (%) czarnowrona *Corvus corone* w regionach ornitologicznych Polski w roku 2020

Table 27. Number of pairs (1), occupied 10 × 10 km squares (2) and occupancy (3) of the Carrion crow *Corvus corone* in ornithological regions in Poland in 2020. (4) – total

	DS	GS	KU	LD	LL	MP	MZ	PK	PL	PM	SW	WM	WP	ZL	Razem (4)
N par (1)	2	1								4					7
N pow (2)	2	1								4					7
Rozp (%) (3)	0,7	0,7								0,8					0,2

Wodniczka *Acrocephalus paludicola*

Liczebność: 3 786 ♂♂	Trend: stabilny (2011–2020)	Kompletność: bardzo wysoka
----------------------	-----------------------------	----------------------------

Wodniczka występowała w 5 regionach (tab. 28). Na 100 losowych transektach, w głównym areale gatunku (Biebrzański PN, Chełmskie Torfowiska Węglanowe, Bagno Bubnów) odnotowano łącznie 867 śpiewających samców (MPP 2020), a liczebność populacji także oszacowano na 3 709 s. (95% przedziały ufności: 3 215–4 328). Ponadto na 11 stanowiskach w pozostałej części kraju występowało łącznie 77 s. (MPP 2020). Najwięcej z nich odnotowano w dolinie Narwi: na Bagnie Wizna (44 s.) oraz w okolicy Drozdowa (7 s.). Ponadto, na Podlasiu występowała jeszcze w ujściu Sidry do Biebrzy (3 s.). Na Mazowszu w dolinach Omulwi i Płodownicy stwierdzono rekordowe dla tych terenów 11 s.

Tabela 28. Liczba zajętych powierzchni 10 × 10 km i rozpowszechnienie (%) wodniczki *Acrocephalus paludicola* w regionach ornitologicznych Polski w roku 2020

Table 28. Number occupied 10 × 10 km squares (1) and occupancy (2) of the Aquatic Warbler in ornithological regions in Poland in 2020. (3) – total

	DS	GS	KU	LD	LL	MP	MZ	PK	PL	PM	SW	WM	WP	ZL	Razem (4)
N samców (1)					157		11		770	5				1	944
N pow (2)					6		3		11	3				1	24
Rozp (%) (3)					2,6		0,7		5,3	0,6				0,8	0,7

na 4 stanowiskach. Na Lubelszczyźnie występowała jedynie w dolinie Tyśmienicy (12 s.). W zachodniej Polsce stwierdzono ją na 3 stanowiskach: na Bagnach Rozwarowskich (4 s.), na wyspie Wielki Krzek w Delcie Świny (1 s.) oraz w PN Ujście Warty (1 s.) (MPP 2020). Dane transektowe wskazują, że w latach 2011–2020 populacja wodniczki była stabilna liczebnie, choć w tym okresie odnotowano istotne, krótkoterminowe zmiany: silny wzrost w latach 2013–2015, stabilizację w latach 2016–2019, a w roku 2020 powrót do liczebności znanych z dwóch pierwszych lat badań (2011–2012). Równoległe trwało wycofywanie się gatunku z zachodniej Polski, gdzie nastąpił zanik większości stanowisk (Zmihorski et al. 2016, MPP 2020, Dyrz 2020).

Wójcik *Phylloscopus trochiloides*

Liczebność: 3 p.	Trend: fluktuacje (2000–2020)	Kompletność: średnia
------------------	-------------------------------	----------------------

Stwierdzono pojedyncze stanowiska w 3 regionach (tab. 29): w Lublinie w ogrodzie botanicznym 14.07 obserwowano parę z co najmniej dwoma słabo lotnymi młodymi (D. Jabłoński), w Babiogórskim PN k. schroniska Markowe Szczawiny 22.07 widziano ptaka dorosłego z pokarmem (K. Walasz, J. Cabak) oraz 02.06 na Helu stwierdzono 1 os. z materiałem na gniazdo (D. i M. Światałowie). W latach 2011–2020 lęgi wójcika stwierdzono w 8 sezonach, w tym najliczniej – 13 p. – w roku 2014 i po 3 lęgi w latach 2012 i 2020 (Stawarczyk et al. 2017, Komisja Faunistyczna 2019, 2020, niniejszy raport). Liczba wykrytych lęgów wójcika w roku 2020 była stosunkowo niska w porównaniu do wysokiej liczby stwierdzeń (112) gatunku w okresie lęgowym (Wylegała et al. 2022).

Tabela 29. Liczba par, zajętych powierzchni 10 × 10 km i rozpowszechnienie (%) wójcika *Phylloscopus trochiloides* w regionach ornitologicznych Polski w roku 2020

Table 29. Number of pairs (1), occupied 10 × 10 km squares (2) and occupancy (3) of the Greenish Warbler in ornithological regions in Poland in 2020. (4) – total

	DS	GS	KU	LD	LL	MP	MZ	PK	PL	PM	SW	WM	WP	ZL	Razem (4)
N par (1)					1	1				1					3
N pow (2)					1	1				1					3
Rozp (%) (3)					0,4	0,5				0,2					0,1

Pomurnik *Tichodroma muraria*

Liczebność: nieznana (min. 1 p.)	Trend: spadek (2000–2020)	Kompletność: niska
----------------------------------	---------------------------	--------------------

Odnotowano tylko jedną parę lęgową w rejonie Raptawickiej Turni w Tatrzańskim PN, czyli w tym samym miejscu, w którym odnotowano lęg w roku poprzednim (Ławicki et al. 2021). Gatunek ten zanika na wielu stanowiskach położonych poza Alpami (Keller et al. 2020). Spadek liczebności udokumentowano także w ciągu ostatnich 30 lat w Tatrach

(Cichocki & Stępniewski 2016). Należy jednak wziąć pod uwagę, że znajduje się tam duża powierzchnia potencjalnych siedlisk lęgowych pomurnika, na których mogą występować niewykryte pary. Bez pełnej inwentaryzacji określenie całkowitej liczebności tego gatunku jest niemożliwe.

„Pliszka tundrowa” *Motacilla flava thunbergi*

Liczebność: 3 p.	Trend: nieznan (2000–2020)	Kompletność: niska
------------------	----------------------------	--------------------

Stwierdzono 3 pary na 3 stanowiskach (tab. 30), w tym na Podkarpaciu widziano samce z pokarmem 13.07 k. Terliczki w dolinie Wisłoka na północ od Rzeszowa (S. Kuczmarski) oraz 23.05 k. Jeziorka na wschód od Tarnobrzega (W. Guzik). Ponadto 16.06 w Korhyniach k. Tomaszowa Lubelskiego obserwowano zaniepokojoną parę (samica z pokarmem) i obok pojedynczego samca tego podgatunku (R. Cymbała).

Tabela 30. Liczba par, zajętych powierzchni 10 × 10 km i rozpowszechnienie (%) „pliszki tundrowej” *Motacilla flava thunbergi* w regionach ornitologicznych Polski w roku 2020

Table 30. Number of pairs (1), occupied 10 × 10 km squares (2) and occupancy (3) of the Grey-headed Wagtail in ornithological regions in Poland in 2020. (4) – total

	DS	GS	KU	LD	LL	MP	MZ	PK	PL	PM	SW	WM	WP	ZL	Razem (4)
N par (1)					1			2							3
N pow (2)					1			2							3
Rozp (%) (3)					0,4			1,0							0,1

Pliszka cytrynowa *Motacilla citreola*

Liczebność: 39 p. (poza Bagnami Biebrzańskimi)	Trend: nieznan (2000–2020)	Kompletność: średnia
--	----------------------------	----------------------

Lęgowa w 6 regionach na 12 powierzchniach, łącznie 39 par (tab. 31). Najliczniej spotykana na Podlasiu, gdzie poza Bagnami Biebrzańskimi odnotowano lęgi na dwóch stanowiskach, w tym co najmniej 6 p. na zb. Siemianówka (M. Polakowski) i 1 p. w kopalni torfu Rabinówka (G. Grygoruk). Poza tym na Bagnach Biebrzańskich wykryto ok. 25 p. (Ł. Krajewski, A. Henel i in.) pominiętych w podsumowaniu ze względu na niekompletne wyniki z tego najważniejszego krajowego lęgowiska gatunku (Krajewski 2016). Drugim istotnym obszarem gniazdowania pliszki cytrynowej było Pomorze z 4 stanowiskami nad Zat. Gdańską, w tym w rez. Beka – 12–13 p. (A. Kośmicki, M. Ściborski), na łąkach k. Mechelinek – 1 p. (M. Charymski, M. Ściborski) i po 3 p. w rez. Bielawa i w Gdańsku-Górkach Zachodnich (A. Sikora). Poza tym jedną parę odnotowano w Słowińskim PN

Tabela 31. Liczba par, zajętych powierzchni 10 × 10 km i rozpowszechnienie (%) pliszki cytrynowej *Motacilla citreola* w regionach ornitologicznych Polski w roku 2020 (poza głównym lęgowiskiem na Bagnach Biebrzańskich)

Table 31. Number of pairs (1), occupied 10 × 10 km squares (2) and occupancy (3) of the Citrine Wagtail in ornithological regions in Poland in 2020 (outside the main breeding area in the Biebrza Marshes). (4) – total

	DS	GS	KU	LD	LL	MP	MZ	PK	PL	PM	SW	WM	WP	ZL	Razem (4)
N par (1)	2	1		1		7			7	21					39
N pow (2)	1	1		1		3			2	4					12
Rozp (%) (3)	0,4	0,7		0,7		1,4			1,0	0,8					0,4

przy jez. Łebsko (M. Jędro). Ponadto 2 terytorialne samce stwierdzono na Dolnym Śląsku na Zb. Mietkowskim (G. Orłowski i in.) oraz w Małopolsce 7 p. na 3 stanowiskach, w tym na Zb. Orawskim – 4–5 p. (1 samica sparowana z samcem pliszki żółtej *M. flava*; M. Jarończyk i in.), na zb. Poraj – 2 p. (P. Łągiewka i in) i na stawach w Spytkowicach – 1 p. (P. Malczyk i in.). Na Górnym Śląsku w Dąbrowie Górniczej już trzeci sezon z rzędu gniazdowała samica o cechach mieszańca z pliszką żółtą sparowana z samcem pliszki cytrynowej (R. Gwóźdź). Ponadto zaniepokojona para była widziana na Ziemi Łódzkiej w południowej części Zb. Sulejowskiego k. Murowańca (S. Kielan).

Dziękujemy wszystkim obserwatorom, którzy brali udział w Monitoringu Ptaków Polski lub przekazali swoje obserwacje do regionalnych kartotek ornitologicznych, ogólnokrajowej bazy obserwacji ornitho.pl lub bezpośrednio do koordynatorów Kartoteki Rzadkich Ptaków. Mamy nadzieję, że przedstawione w raporcie wyniki zachęcą Was do kontynuowania współpracy, a pozostałych do wprowadzania swoich danych do internetowych baz, tak by kolejne raporty były jeszcze bardziej kompletne.

Lista obserwatorów: L. Adamczyk, R. Adamiak, S. Aftyka, A. Aftyka, A. Andrzejczyk, K. Antczak, Ł. Antczak, J. Antczak, P. Antoniewicz, K. Antoń, M. Bagińska, U. Bagiński, T. Bajdak, T. Bajor, K. Banach, D. Baran, M. Baran, P. Baranek, P. Baraniecki, P. Baranowski, M. Barcz, J. Bartoń, T. Baziak, M. Beblot, Ł. Bednarz, K. Belik, J. Betleja, S. Beuch, M. Białek, P. Białomyzy, K. Bieńkowski, N. Bilewska, A. Bimek, T. Biwo, P. Blachliński, M. Blank, T. Blank, G. Błachuta, T. Błaszczak, A. Błąd, M. Boenisch, M. Bohr, M. Bojarowski, K. Bolechowski, A. Borla, M. Borowik, K. Borowik, M. Borucki, B. Brewka, M. Broniszewska, S. Broński, H. Brzóska, A. Buczyński, M. Bukacińska, D. Bukaciński, N. Bulska, P. Bulski, M. Burczaniuk, S. Bzoma, J. Cabak, P. Chara, M. Charymski, G. Chlebiak, A. Chlebowski, T. Chodkiewicz, P. Choróbski, W. Chrościk, A. Chwierut, P. Chylarecki, M. Cieszyński, S. Cios, M. Cmoch, R. Cymbała, K. Czajowski, B. Czarnecki, D. Cząstkiewicz, S. Czernek, D. Czernek, B. Czerwiński, P. Czułowski, S. Czyż, W. Ćwikliński, D. Dąbrowski, M. Dec, M. Derda, K. Dębicki, A. Dmoch, Piotr i Przemysław Doboszewscy, Pr. Doboszewski, K. Dobrowolska-Martini, M. Dobrski, J. Dobrzyński, M. Dojlida, P. Dombrowski, T. Drazny, A. Drzazgowska, M. Duda, K. Dudzik, M. Dudzik, A. Dybich, M. Dyduch, M. Dylawerski, A. Dylik, J. Dymitrowicz, P. Dziełakowski, M. Dziermańska, M. Elas, P. Fatyga, M. Filipiuk, A. Floryszek-Kosińska, A. Furdyna, U. Frydrych, S. Gacek, M. Gajewski, A. Gałazka-Gogołek, P. Gawel, M. Gągała, A. Gerersdorf, S. Gibowski, M. Gierszewski, J. Gil, S. Giza, A. Glinka, M. Goc, T. Gogołek, P. Gołaszewski, A. Goławski, J. Goniewicz, M. Góra, N. Górską, A. Górski, A. Grajewska, B. Gramsz, P. Grochowski, F. Gronowski, A. Gruszczyński, G. Grygoruk, M. Grzeniewski, J. Grzybek, G. Grzywaczewski, S. Guentzel, W. Guzik, R. Gwóźdź, J. Gwóźdź, K. Haja, F. Hayatli, A. Henel, K. Henel, P. Hermański, T. Iciek, Ł. Iłczok, M. Ilkowska-Nowak, D. Jabłoński, J. Jagiełko, K. Jainta, D. Jakubas, A. Janiszewska, H. Janiszewski, T. Janiszewski, S. Jankowski, K. Jankowski, Ł. Janocha, M. Jantarski, M. Jarończyk, M. Jasiński, Z. Jaszcz, M. Jezierski, M. Jędro, G. Jędro, M. Jobda, R. Kaczmarek, K. Kajzer, Z. Kajzer, J. Kaliciuk, A. Kaniewska-Skoczylas, M. Kantor, M. Karpeta, D. Karpowicz, J. Karwacki, M. Karwowski, K. Kata, B. Kawka, K. Kąciak, A. Kąkol, R. Kempa, S. Kielan, K. Kielczyński, G. Kiljan, M. Klewiado, P. Klukiewicz, P. Kłonowski, T. Kobylas, M. Kociniak, K. Kokoszka, K. Komarowska, S. Kopeć, K. Koper, M. Korniluk, Z. Kosiński, M. Koss, A. Kośmicki, B. Kozik, M. Koziół, K. Kozłowski, D. Kozłowski, K. Koźlik, Ł. Krajewski, P. Krawczyk, B. Krąkowski, J. Krogulec, T. Królak, K. Krukowski, H. Krupa, A. Krupa, D. Krupiński, M. Książek, M. Kucharski, S. Kuczumarski, D. Kujawa, M. Kulmajer, R. Kurowski, B. Kusal, M. Kuszner, A. Kuźnia, M. Lecyk, M. Ledwoń, W. Lenkiewicz, B. Lesner, P. Lewandowski, K. Liersz-Żelasko, S. Ligeża, H. Linert, A. Lipiński, R. Locman, G. Lorek, A. Lorecki, K. Lubińska, M. Łaguna, D. Łapiński, I. Ławicka, Ł. Ławicki, P. Łągiewka, A. Łobacz, M. Łodziński, S. Łopacki, H. Łożyńska, H. Łukomska, K. Łysowski, G. Maciorowski, R. Mackiewicz, P. Majchrzak, P. Malczyk, W. Malec, K. Malec, M. Maluśkiewicz, B. Manikowska-Ślepowrońska, D. Marchowski, Z. Marciniak, K. Marczak, P. Marczakiewicz, P. Marczakowski, K. Marczewski, T. Maszkało, J. Matusiak, K. Matusik, Ł. Matyjasiak, P. Mazurek, R. Mehlich, Ł. Meina, R. Mendakiewicz, S. Menderski, M. Mentlewicz, W. Michalak, J. Michalczuk, W. Michalczuk, W. Michalik, S.

Michoń, S. Mielczarek, R. Mikusek, P. Minias, M. Mirowski, M. Molęda, A. Mulawa, M. Murawski, T. Musiał, K. Musiał, A. Muszyńska, J. Mydlak, O. Myka, M. Nagler, M. Naranowicz, M. Niedziółka, S. Niedźwiecki, J. Niemiec, M. Nieoczym, S. Niziński, A. Niżnik, K. Niżnik, B. Nowak, M. Nowicki, P. Obłoz, W. Okupniczak, Ł. Omelczuk, B. Orłowska, G. Orłowski, A. Oruba, T. Orzechowski, A. Ostoja-Lniski, D. Ostrowski, W. Ożga, H. Pamuła, E. Paprzycka, A. Parapura, P. Pasiak, A. Pasiak, P. Pasterski, M. Pastrykiewicz, Z. Paśnik, K. Pawlukojć, P. Pawłowicz, J. Pestka, S. Pestka, M. Piątkowski, D. Piechota, M. Pietrewicz, M. Piotrowski, W. Plata, P. Pluciński, M. Pluta, D. Płachocki, P. Podlas, M. Polakowski, B. Polanin, J. Pomorska-Grochowska, B. Popiołek, G. Potakiewicz, M. Pruszyński, J. Przedzrymirska, J. Przyborowska, M. Przybysz, M. Przysański, J. Rabiasz, P. Radek, M. Radziszewski, D. Rancew-Sikora, J. Rapczyński, M. Redlisiak, J. Regner, M. Rejmer, M. Ritz, M. Rodziewicz, M. Rowicki, P. Różyk, A. Różycki, S. Rubacha, M. Rycak, P. Rymwid-Mickiewicz, M. Rzępała, P. Safader, J. Sajnaj, G. Schneider, J. Schoene-Warnefeld, J. Sebastian, S. Sendera, A. Sere-da-Cząstkiewicz, R. Sęk, M. Sidelnik, P. Siejka, P. Sieracki, M. Sierakowski, G. Sierocki, D. Sikora, A. Sikora, J. Sikorski, D. Siwy, P. Skalbani, K. Skorb, S. Skrobiński, W. Ślodkaiewicz, M. Słowikowski, J. Słowikowski, Ś. Smoczyński, L. Smyk, B. Smyk, J. Smykla, G. Sobczak, M. Sobieraj, T. Sobuś, G. Sojka, M. Sołowiej, M. Sowa, P. Stachyra, M. Stajszczyk, J. Stalenga, A. Starzecka, K. Stasiak, D. Stasiowski, T. Stawarczyk, K. Stępniewski, J. Stępniewski, E. Suchozebrska, M. Sułecky, A. Syguła, P. Sykała, A. Szafrański, M. Szajda, P. Szałański, L. Szarzyński, E. Szczepankiewicz, R. Szerbik, R. Szczęch, P. Szczypiński, J. Szeliga, M. Szeruga, P. Szewczyk, A. Szukstul, M. Szwarz, D. Szymaniak, P. Szymański, J. Szymczak, M. Szymkiewicz, C. Szymura, M. Ściborski, P. Śledziowski, K. Ślepowroński, M. Śliż, K. Ślusarski, T. Świątek, R. Świerad, P. Świętochowski, D. Światała, M. Światała, T. Światała, K. Tabernacki, M. Tajchman, F. Tanneberger, C. Tegetmayer, M. Tobółka, M. Traciłowska, A. Traczyk, K. Trzciniński, T. Tumieli, A. Turowska, S. Turowski, R. Tusiński, M. Twardowski, M. Urban, M. Urbański, M. Voit, K. Walasz, M. Walczak, R. Walczybok, Ł. Wardecki, A. Wasińska, S. Watras, M. Wawrowicz, Ł. Wawrzyniak, M. Wereszczak, D. Węclawek, K. Węglarz, M. Wężyk, M. Wiczorek, D. Wiehle, M. Wielik, T. Wilk, A. Włodarczyk-Komosińska, R. Włodarczyk, Z. Wnuk, J. Wojtczak, M. Wojtkowiak, M. Wołowik, B. Woźniak, P. Woźniak, I. Woźniak, M. Woźny, M. Woźny, C. Wójcik, K. Wrzecionkowski, P. Wylegała, K. Wypychowski, J. Wyrwał, P. Zabłocki, P. Zaborowski, E. Zając, M. Zarankiewicz, T. Zarzycki, G. Zawadzki, R. Zbroński, A. Zbyryt, R. Zdrojewski, P. Zieliński, M. Ziółkowski, C. Zontek, M. Zymunt, P. Żarkiewicz, K. Żarkowski, H. Żelichowska, M. Żochowska, A. Życki.

Za udostępnienie zdjęć do niniejszej publikacji dziękujemy Łukaszowi Bednarzowi, Sławomirovi Rubasze oraz Michałowi Rycakowi.

Literatura

- Beuch S. 2021. Pierwsze krajowe stwierdzenie lęgu pary srokoszy wykazujących fenotypowe cechy podgatunku „srokosza stepowego” *Lanius excubitor homeyeri*. Ptaki Śląska 27: 71–74.
- Cichocki W., Stępniewski K. 2016. Pomurnik *Tichodroma muraria*. W: Wilk T., Bobrek R., Pępkowska-Król A., Neubauer G., Kosicki J. (red.). 2016. Ptaki polskich Karpat – stan, zagrożenia, ochrona. OTOP, Marki.
- Chodkiewicz T., Kuczyński L., Sikora A., Chylarecki P., Neubauer G., Ławicki Ł., Stawarczyk T. 2015. Ocena liczebności ptaków lęgowych w Polsce w latach 2008–2012. Ornis Pol. 56: 149–189.
- Chodkiewicz T., Neubauer G., Sikora A., Ławicki Ł., Meissner W., Bobrek R., Cenian Z., Bzoma S., Betleja J., Kuczyński L., Moczarska J., Rohde Z., Rubacha S., Wieloch M., Wylegała P., Zielińska M., Zieliński P., Chylarecki P. 2018. Monitoring Ptaków Polski w latach 2016–2018. Biul. Monitoringu Przyrody 17: 1–90.
- Chodkiewicz T., Chylarecki P., Sikora A., Wardecki Ł., Bobrek R., Neubauer G., Marchowski D., Dmoch A., Kuczyński L. 2019. Raport z wdrażania art. 12 Dyrektywy Ptasiej w Polsce w latach 2013–2018: stan, zmiany, zagrożenia. Biul. Monitoringu Przyrody 20: 1–80.
- Chylarecki P., Chodkiewicz T., Neubauer G., Sikora A., Meissner W., Woźniak B., Wylegała P., Ławicki Ł., Marchowski D., Betleja J., Bzoma S., Cenian Z., Górski A., Korniluk M., Moczarska J.,

- Ochocińska D., Rubacha S., Wieloch M., Zielińska M., Zieliński P., Kuczyński L. 2018. Trendy liczebności ptaków w Polsce. GIOŚ, Warszawa.
- Dyrz A., Grabiński W., Stawarczyk S., Witkowski J. 1991. Ptaki Śląska. Monografia faunistyczna. Zakład Ekologii Ptaków, Uniwersytet Wrocławski, Wrocław.
- Górski A., Szymkiewicz M. 2001. Kraska *Coracias garrulus*. W: Głowaciński Z. (red.). Polska czerwona księga zwierząt. Kregowce, ss. 246–248. PWRiL, Warszawa.
- Hayatli F., Wardecki Ł., Sikora D., Kajzer K., Rapczyński J., Karczewski K., Włodarczyk R. 2022. Breeding population size of Mandarin duck in Warsaw agglomeration in 2016–2021. Bird Numbers 2022: Beyond the Atlas: challenges and opportunities. Programme and Abstracts of the 22nd Conference of the European Bird Census Council, 4–9 April 2022, Lucerne, Switzerland. Swiss Ornithological Institute, Sempach.
- Keller V., Herrando S., Voříšek P., Franch M., Kipson M., Milanese P., Martí D., Anton M., Klvaňová A., Kalyakin M. V., Bauer H-G., Floppen R.P.B. 2020. European Bird Atlas 2. Distribution, Abundance and Change. European Bird Census Council & Lynx Edicions, Barcelona.
- Komisja Faunistyczna 2004. Rzadkie ptaki obserwowane w Polsce w roku 2003. Not. Orn. 45: 169–194.
- Komisja Faunistyczna 2017. Rzadkie ptaki obserwowane w Polsce w roku 2016. Ornis Pol. 58: 83–116.
- Komisja Faunistyczna 2018. Rzadkie ptaki obserwowane w Polsce w roku 2017. Ornis Pol. 59: 119–153.
- Komisja Faunistyczna 2019. Rzadkie ptaki obserwowane w Polsce w roku 2018. Ornis Pol. 60: 125–160.
- Ławicki Ł., Beuch S., Chodkiewicz T., Wylegała P., Betleja J., Bzoma S., Ceniań Z., Czechowski P., Czyż S., Dębowski P., Dylík A., Górski A., Grygoruk G., Jankowski K., Kajzer Z., Krupiński D., Matyjasiak Ł., Neubauer G., Sielicki S., Smyk B., Stasiak K., Wardecki Ł., Wężyk M., Wieloch M., Woźniak B., Zielińska M., Zieliński M., Sikora A. 2021. Kartoteka Rzadkich Ptaków w Polsce w roku 2019 – gatunki lęgowe. Ornis Pol. 62: 310–338.
- Mazgajski D.T., Mazgajska J. 2004. Egzotyczne ptaki w miastach Europy. Fauna miast Europy Środkowej 21. wieku. Wyd. LOGO, Bydgoszcz.
- Meissner W., Bzoma S. 2009. Pierwsze lęgi bernikli kanadyjskiej *Branta canadensis* w Polsce oraz problemy związane ze wzrostem jej liczebności na świecie. Not. Orn. 50: 21–28.
- Muszyńska A. 2022a. Czynna ochrona oraz obserwacje dotyczące biologii rozrodu szablodzioba *Recurvirostra avosetta* na Ziemi Leszczyńskiej. Ornis Pol. 63: 62–67.
- Muszyńska A. 2022b. Występowanie szablodzioba *Recurvirostra avosetta* w Polsce. Ornis Pol. 63: 12–28.
- MPP 2020. Wyniki Monitoringu Ptaków Polski w 2020 roku. Główny Inspektorat Ochrony Środowiska. <https://monitoringptakow.gios.gov.pl/raporty.html>.
- Pugacewicz E., Kowalski J. 1997. Pierwsze w 20. wieku lęgi czapli białej *Egretta alba* w Polsce. Not. Orn. 38: 323–325.
- Sikora A., Rohde Z., Gromadzki M., Neubauer G., Chylarecki P. (red.). 2007. Atlas rozmieszczenia ptaków lęgowych Polski 1985–2004. Bogucki Wyd. Nauk., Poznań.
- Sikora A., Beuch S., Ławicki Ł., Wylegała P., Neubauer G., Betleja J., Bzoma S., Ceniań Z., Czechowski P., Czyż S., Dębowski P., Dylík A., Górski A., Grygoruk G., Jankowski K., Kajzer Z., Krupiński D., Matyjasiak Ł., Smyk B., Sielicki S., Stasiak K., Wardecki Ł., Wężyk M., Wieloch M., Woźniak B., Zielińska M., Zieliński M., Chodkiewicz T. 2020. Kartoteka Rzadkich Ptaków w Polsce w roku 2018 – gatunki lęgowe. Ornis Pol. 61: 259–283.
- Stowarzyszenie Na Rzecz Dzikich Zwierząt Sokół 2020. Podsumowanie sezonu 2020 – lęgi naturalne i reintrodukcje. <https://peregrinus.pl/pl/aktualnosci/podsumowanie-sezonu-2020-legi-naturalne-i-reintrodukcje>.
- Stawarczyk T., Cofta T., Kajzer Z., Lontkowski J., Sikora A. 2017. Rzadkie ptaki Polski. Studio B&W Wojciech Janecki, Sosnowiec.
- Studecký J. 2021. Pallid Harrier breeding near Dobřichov, Czechia, in 2020. Dutch Birding 43: 141–144.

- Škorpíková V., Horal D., Štěpánek D., Berka P. 2020. Hnízdní invaze kalouse pustovky (*Asio flammeus*) na jižní a střední Moravu v roce 2019. *Crex* 38: 24–43.
- Tomiałojć L., Stawarczyk T. 2003. Awifauna Polski: rozmieszczenie, liczebność i zmiany. PTPP „pro Natura”, Wrocław.
- Wardecki Ł., Chodkiewicz T., Beuch S., Smyk B., Sikora A., Neubauer G., Meissner W., Marchowski D., Wylegała P., Chylarecki P. 2021. Monitoring Ptaków Polski w latach 2018–2021. *Biul. Monitoringu Przyrody* 22: 1–80.
- Wilk T., Chodkiewicz T., Sikora A., Chylarecki P., Kuczyński L. 2020. Czerwona lista ptaków Polski. OTOP, Marki.
- Wylegała P., Beuch S., Sikora A., Ławicki Ł., Cymbała R., Czechowski P., Czyż S., Dębowski P., Dylík A., Grygoruk G., Guzik W., Jankowski K., Kajzer Z., Matyjasiak Ł., Smyk B., Wężyk M., Chodkiewicz T. 2022. Kartoteka Rzadkich Ptaków w Polsce w roku 2020 – gatunki nielegowe. *Ornis Pol.* 63: 245–281.
- Zbyryt A. 2019. Numbers and distribution of breeding population of the Great Egret *Ardea alba* in Poland. *Ornis Pol.* 60: 235–244.
- Zieliński P., Chodkiewicz T., Zielińska M., Iciek T., Sidelnik M., Szymczak J., Bukaciński D., Bukacińska M., Rudenko A., Neubauer G., Sikora A. 2022. Gniazdowanie mewy czarnogłowej *Ichthyaetus melanocephalus* w Polsce w latach 2006–2020 na tle sytuacji gatunku w Europie. *Ornis Pol.* 63: 83–99.